

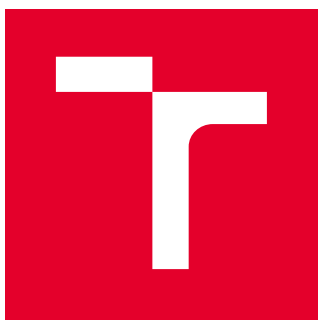
VYSOKÉ UČENÍ TECHNICKÉ V BRNĚ

Fakulta elektrotechniky
a komunikačních technologií

DIPLOMOVÁ PRÁCE

Brno, 2019

Bc. Dominik Konečný



VYSOKÉ UČENÍ TECHNICKÉ V BRNĚ

BRNO UNIVERSITY OF TECHNOLOGY

FAKULTA ELEKTROTECHNIKY A KOMUNIKAČNÍCH TECHNOLOGIÍ

FACULTY OF ELECTRICAL ENGINEERING AND COMMUNICATION

ÚSTAV TELEKOMUNIKACÍ

DEPARTMENT OF TELECOMMUNICATIONS

ADAPTIVNÍ REAL-TIME REVERB JAKO PLUGIN PRO HERNÍ ENGINE UNITY

ADAPTIVE REAL-TIME REVERB AS A PLUGIN FOR UNITY GAME ENGINE

DIPLOMOVÁ PRÁCE

MASTER'S THESIS

AUTOR PRÁCE

AUTHOR

Bc. Dominik Konečný

VEDOUCÍ PRÁCE

SUPERVISOR

Ing. Tomáš Kiska

BRNO 2019

Diplomová práce

magisterský navazující studijní obor **Audio inženýrství**

Ústav telekomunikací

Student: Bc. Dominik Konečný

ID: 162641

Ročník: 2

Akademický rok: 2018/19

NÁZEV TÉMATU:

Adaptivní real-time reverb jako plugin pro herní engine Unity

POKYNY PRO VYPRACOVÁNÍ:

V rámci této práce bude vytvořen zvukový plugin v jazyce C++ za použití Unity Native Audio Plugin SDK a jiných knihoven pro herní engine Unity. Právě ten bude simulovat prvotní odrazy a difuzní část dozvuku v 3D prostoru. Plugin bude obsahovat nastavení času dozvuku a HF/LF ratio (oba závislé na materiálech a velikosti prostoru). Dále pak nastavení pre-delay, difuzního poměru, reflexního poměru a nastavení dry/wet signálu. Výstupem diplomové práce bude funkční plugin v Unity GUI. Bude vytvořen uživatelský skript v jazyce C#. Adaptace reverbu bude probíhat v reálném čase na základě uživatele v reálném prostoru. Součástí testování pluginu bude ukázková scéna v 3D prostoru, která bude a následně testovat funkčnost jak na velikosti prostoru, tak na různých materiálech (např. dřevo, beton, dlažba, záclony, ...). V rámci této práce bude vytvořen reverb s požadovanými vlastnostmi. Dále pak bude rozšířen o jeho adaptivnost v 3D prostoru a následně otestován.

DOPORUČENÁ LITERATURA:

[1] HOCKING, Joseph. Unity in action: multiplatform game development in C#. Shelter Island, NY: Manning Publications Co., [2015]. ISBN 978-1617292323.

[2] ZÖLZER, Udo. DAFX: digital audio effects. 2nd ed. Chichester: Wiley, 2011. ISBN 0470665998.

Termín zadání: 1.2.2019

Termín odevzdání: 16.5.2019

Vedoucí práce: Ing. Tomáš Kiska

Konzultant:

prof. Ing. Jiří Mišurec, CSc.
předseda oborové rady

UPOZORNĚNÍ:

Autor diplomové práce nesmí při vytváření diplomové práce porušit autorská práva třetích osob, zejména nesmí zasahovat nedovoleným způsobem do cizích autorských práv osobnostních a musí si být plně vědom následků porušení ustanovení § 11 a následujících autorského zákona č. 121/2000 Sb., včetně možných trestněprávních důsledků vyplývajících z ustanovení části druhé, hlavy VI. díl 4 Trestního zákoníku č.40/2009 Sb.

Abstrakt

Tato práce se věnuje reverberátorům jako systémům sloužícím k simulaci poslechových prostor a jejich implementaci v rámci herního vývojového prostředí Unity. Cílem této práce bylo vytvořit funkční zásuvný modul pro toto prostředí, který bude schopený pracovat v reálném čase a taky své parametry v reálném čase měnit.

Klíčová slova

dozvuk, reverberátor, Unity, hra, DSP

Abstract

This work is about reverberators as system for simulating space properties of sound and their implementation in game development software Unity. The goal of this thesis is to create a working plug-in module for this development software, which is capable of working in real time and also can change it's parameteres in real time.

Klíčová slova

reverberation, reverb, Unity, game, DSP

KONEČNÝ, Dominik. *Adaptivní real-time reverb jako plugin pro herní engine Unity*. Brno, 2019. Dostupné také z: <https://www.vutbr.cz/studenti/zav-prace/detail/118136>. Diplomová práce. Vysoké učení technické v Brně, Fakulta elektrotechniky a komunikačních technologií, 2019, 77 stran, 1 příloha. Vedoucí práce Ing. Tomáš Kiska

Prohlášení autora o původnosti díla

Prohlašuji, že svou diplomovou práci na téma Adaptivní real-time reverb jako plugin pro herní engine Unity jsem vypracoval samostatně pod vedením vedoucího diplomové práce a s použitím odborné literatury a dalších informačních zdrojů, které jsou všechny citovány v práci a uvedeny v seznamu literatury na konci práce. Jako autor uvedené diplomové práce dále prohlašuji, že v souvislosti s vytvořením této diplomové práce jsem neporušil autorská práva třetích osob, zejména jsem nezasáhl nedovoleným způsobem do cizích autorských práv osobnostních a/nebo majetkových a jsem si plně vědom následků porušení ustanovení § 11 a následujících autorského zákona č. 121/2000 Sb., o právu autorském, o právech souvisejících s právem autorským a o změně některých zákonů (autorský zákon), ve znění pozdějších předpisů, včetně možných trestněprávních důsledků vyplývajících z ustanovení části druhé, hlavy VI. díl 4 Trestního zákoníku č. 40/2009 Sb.

V Brně dne
.
podpis autora

Obsah

Úvod	10
1 Reverberátory	11
1.1 Simulace poslechového prostoru	11
1.1.1 Přístupy k simulaci poslechového prostoru	11
1.2 Základní stavební prvky	14
1.2.1 Zpožďovací linka	14
1.2.2 Hřebenový filtr	14
1.2.3 Fázovací článek	15
1.2.4 Kmitočtové filtry	15
1.2.5 Filtry prvního řádu založené na fázovacích článcích	16
1.2.6 Shelving filtry	17
1.3 Prvotní odrazy	18
1.3.1 Odraz a absorpce	18
1.3.2 Metoda zrcadlení zdrojů	19
1.3.3 Vliv prvotní odrazů	20
1.3.4 Simulace prvotních odrazů	20
1.4 Panorámování	21
1.4.1 Amplitudové panorámování	22
1.4.2 Panorámování pomocí časového a fázového zpoždění	23
1.5 Přenosová funkce vztahená k hlavě (Head related transfer function – HRTF)	24
1.6 Mnohonásobné odrazy	24
1.6.1 Doba dozvuku	24
1.6.2 Požadované kvality mnohonásobných odrazů	26
1.7 Struktury pro simulaci mnohonásobných odrazů	26
1.7.1 Schroederův reverberátor	27
1.7.2 Moorerův reverberátor	27
1.7.3 Zpětnovazebná zpožďovací matice (Feedback delay network)	28
1.7.4 Reverberátor založený na sametovém šumu (Velvet Noise Reverberation)	30
2 Herní engine Unity	32
2.1 Herní engine	32
2.2 Historie	32
2.3 Editor	33
2.3.1 GameObject	34

2.3.2	Component	34
2.3.3	Bázové třídy	36
2.3.4	Audio Source	37
2.3.5	Audio Listener	37
2.4	Audio Mixer	38
2.5	Native Audio Plugin SDK	39
2.6	Audio Spatializer SDK	41
3	Návrh	42
3.1	Přehled	42
3.1.1	Přímý zvuk	42
3.1.2	Prvotní odrazy	43
3.1.3	Mnohonásobné odrazy	43
4	Výsledky	46
4.1	C++ Zásuvný modul	46
4.1.1	Lowpass	46
4.1.2	HighShelving	47
4.1.3	BasicBuffer	47
4.1.4	Plugin_Spatializer.cpp	47
4.1.5	Plugin_Reverb.cpp	48
4.2	Unity skripty	49
4.2.1	AcousticMaterial.cs	49
4.2.2	ReverbVolume.cs	50
4.2.3	ReverbUnit.cs	52
4.2.4	samplePicker.cs	55
4.2.5	Nastavení Audio Mixer Group	56
4.3	Unity projekt	56
5	Závěr	57
	Literatura	58
	Seznam příloh	60
	A Obsah přiloženého CD	61
	B Návod na zprovoznění zásuvných modulů	62
	C Native Audio SDK	63
	D Pomocné třídy a funkce	65

E	Plugin_Spatializer.cpp	69
F	Plugin_Reverb.cpp	75

Seznam obrázků

1.1	Zjednodušený časový průběh dozvuku	13
1.2	Zpožďovací linka	14
1.3	hřebenový filtr	15
1.4	fázovací článek	15
1.5	základní kmitočtové filtry	16
1.6	horní/dolní propust realizovaná fázovacím článkem	16
1.7	high/low shelving filter	17
1.8	Odraz	18
1.9	Zrcadlené zdroje	20
1.10	Blokové schéma zpožďovací linky s více výstupy	21
1.11	Blokové schéma zpožďovací linky pro simulaci k prvotním odrazů	22
1.12	Stereofonní poslech	23
1.13	Blokové schéma zpožďovací linky pro simulaci k prvotním odrazů s využitím HRTF	25
1.14	Útlumový reliéf energie	26
1.15	Schroederův reverberátor	28
1.16	Moorerův hřebenový filtr	28
1.17	Čtyřkanálová FDN	29
1.18	Schéma systému pro pseudo náhodný generátor dozvuku	31
1.19	sekvence sametového šumu o délce 30 ms s hustotou 1500 špiček za sekundu	31
2.1	Unity Editor	33
2.2	GameObject	34
2.3	Componenty	35
2.4	Audio Source	38
2.5	Audio Mixer	39
2.6	Audio Mixer Group detail	40
3.1	Blokové schéma zásuvného modulu	42
3.2	Blokové schéma zpracování přímého zvuku	43
3.3	Návrh realizace systému simulující k prvotním odrazů	44
3.4	Návrh realizace systému simulující mnohonásobné odrazy	45
4.1	Acoustic Material GUI	50
4.2	Uživatelské rozhraní ReverbVolume.cs	51
4.3	Uživatelské rozhraní reverbUnit.cs	53

Úvod

Hry jako médium existují již přes třicet let. Za tu dobu se z okrajové zábavy pro malou specifickou skupinu staly celospolečenským fenoménem ale také jedním z nejrychleji rostoucích kulturních a zábavních odvětví. Současné mainstreamové hry, tvořené často týmy stovek lidí, v sobě dokáží spojovat nejnovější technologie s uměleckou tvorbou. Nezanedbatelnou roli ve výsledném celku tedy pochopitelně hraje zvuk a hudba. Hra, má oproti jiným médiím, například filmu nebo hudební nahrávce, zásadní rozdíl, kterým je *nelinearita*. Celý herní systém, tedy veškeré zpracování obrazu, herní logiky i zvuku musí být prováděno nejen v reálném čase, ale zároveň na základě naprosto nepředvídatelného chování hráče.

Cílem této práce je vytvořit zásuvný modul pro herní engine Unity, který dokáže simulovat zvukové vlastnosti poslechových prostor automaticky na základě informací v rámci herního enginu, a tím ušetřit vývojáři nutnost manuálního nastavování pro každý prostor.

V první části se tato práce věnuje problematice simulace poslechových prostor ve virtuálním prostoru v reálném čase. Věnuje se různým přístupům k simulaci poslechových prostor v číslicovém zpracování signálu a jejich specifikám. Také jsou zde popsány základní stavební prvky a struktury, kterých se při číslicovém zpracování signálu využívá.

V druhé části se tato práce věnuje hernímu enginu Unity. Unity (případně Unity3D) je v současné době nejpoužívanějším herním enginem, v kterém vznikají tisíce her ročně a to jak od velkých vývojářských studií tak malých nezávislých týmů a jednotlivců. Bude zde přiblížena historie tohoto vývojového prostředí a práce v něm. Blíží pozornost bude věnována práci se zvukem v rámci enginu a bude zde znměny vývojové nástroje Unity Native Audio SDK a Unity Spatializer SDK pro tvorbu vlastních zásuvných modulů.

Ve třetí části je již popsán návrh samotného zásuvného modulu v rámci jednotlivých struktur.

V poslední části se tato práce věnuje samotným zásuvným modulům, vytvořeným v jazyce C++. Budou zde popsány jednotlivé základní třídy a funkce, ale také důležité uživatelsky editovatelné parametry. Dále zde bude popsáno fungování skriptů v jazyce C# ovládající tyto zásuvné moduly. Také zde bude přiblížen ukázkový projekt v Unity, jeho obsah a fungování.

1 Reverberátory

1.1 Simulace poslechového prostoru

Každá reálná místnost má své zvukové vlastnosti. Každý zvuk, který slyšíme, je doplněn o jeho opožděné odrazy z mnoha různých směrů. Náš sluch je na tento vjem zvyklý, takže si jej většinou neuvědomujeme. Typicky si jej všimneme v extrémních případech velikých odrazivých prostor, jakým mohou být například jeskyně nebo kostely, kde časy jednotlivých odrazů mohou být v řádech stovek milisekund a celková doba dozvuku v řádech sekund. Ovšem v malých místnostech (typicky například koupelna), kde je rozdíl mezi přímým zvukem a jeho odrazem v řádu jednotek milisekund, nevnímáme odrazy samostatně, ale jako součást samotného zvuku. Typicky nám mění hlasitost a barvu zvuku.

Za zásadní parametry pro vlastnosti simulace tedy můžeme považovat velikost daného prostoru, uspořádání a dále pohltivost, případně odrazivost jednotlivých stěn místnosti. Dále je pro nás důležitá poloha zdroje zvuku a poloha posluchače. Pokud uvažujeme posluchače jako stereofonní (případně i více kanálový) výstup, zajímá nás také jeho orientace v prostoru. Pro skutečně realistickou simulaci by nás zajímala ještě směrová vyzařovací charakteristika zdroje, my ale v této práci pro zjednodušení budeme všechny zdroje považovat za všesměrové.

Simulace dozvuku prostor je hojně využívána v hudbě. A to jak ve studiové praxi, tak při živé produkci. Zásuvné moduly a efektové jednotky dnes najdeme v každém DAW a mixážním pultu. Hojně se také využívá ve filmové postprodukci a hrách, pro simulaci zvukových vlastností virtuálních prostor. Absence dozvuku si ve velkých virtuálních prostorách všimneme velmi rychle jako něčeho velmi nepřírodního. Obecně se dá říct že reprodukováný zvuk bez jakéhokoliv dozvuku, ať už nahraného nebo simulovaného se dá považovat za suchý a nepřírodní.

1.1.1 Přístupy k simulaci poslechového prostoru

Z hlediska zpracování signálu můžeme každou místnost se zdroji zvuku a posluchači považovat za lineární systém se vstupy a výstupy. Pokud máme všesměrový zdroj zvuku jako vstup a výstupy jako akustický tlak v poloze uší, můžeme místnost považovat za lineární časově invariantní systém popsáný dvěma přenosovými funkcemi. Takovýto systém můžeme popsat binaurální impulsní odezvou [22]:

$$\begin{aligned}y_L(t) &= \int_0^\infty h_L(\tau)x(t - \tau)d\tau, \\y_R(t) &= \int_0^\infty h_R(\tau)x(t - \tau)d\tau,\end{aligned}\tag{1.1}$$

kde $h_L(t)$ a $h_R(t)$ jsou impulsové odezvy pro levé a pravé ucho, $x(t)$ je zdroj zvuku a $y_L(t)$ a $y_R(t)$ jsou výsledné signály pro levé a pravé ucho [16].

Délka takovéto impulsové odezvy může ale být v řádu desítek až stovek tisíc vzorků (v závislosti na době dozvuku a vzorkovacím kmitočtu). Realizace takovéhoho filtru za pomoci FIR filtru by byla extrémně výpočetně náročná [2]. V případě kdy potřebujeme tento systém počítat v reálném čase, a navíc souběžně s renderováním obrazu a fyzikálními interakcemi v herním enginu, není možné tento přístup zvolit. Dále bychom také museli mít banku impulsových odezev pro každou kombinaci polohy hráče vůči zdroji zvuku.

V praxi se můžeme setkat s následujícími přístupy k simulaci:

- Fyzikální přístup:
- Vjemový přístup
- Aproximační přístup

Fyzikální přístup

Cílem fyzikálního přístupu simulace je simulovat šíření zvuku v prostoru exaktně. Toho docílíme konvolucí signálu zdroje a impulsové odezvy.

Pokud prostor, který chceme simulovat není reálný a jeho impulsové odezvy není možné změřit, musíme použít jiné metody. Základním předpokladem je, že známe přesně geometrii prostoru, akustické vlastnosti stěn a objektů v prostoru a polohy a orientace zdroje a posluchače. Využívají se metody sledování paprsku (ray-tracingu), zrcadlení zdroje (image-source) nebo metody konečných prvků (finite-element, boundary-element) [17, 16]. Tento přístup se v literatuře označuje jako *auralizace*.

S rostoucím výkonem dnešních počítačů roste i obliba *konvolučních reverberátorů*, tedy systémů využívajících konvoluce k simulacím poslechového prostoru. Výhodou je, že můžeme relativně přesně simulovat skutečná a známá místa, typicky například slavná nahrávací studia nebo katedrály. S rostoucí popularitou reverberátorů i roste dostupnost těchto impulsových odezev. V posledních letech také roste využití konvolučních reverberátorů v herním vývoji.

Vjemový přístup

Je takový přístup, při kterém se snažíme reprodukovat pouze vjemově významné charakteristiky dozvuku na základě známých parametrů. V praxi se při implementaci využívají mnohem efektivnější IIR filtry (filtry s nekonečnou impulsovou odezvou). Nad takovýmto systémem máme kontrolu v reálném čase a můžeme v reálném čase

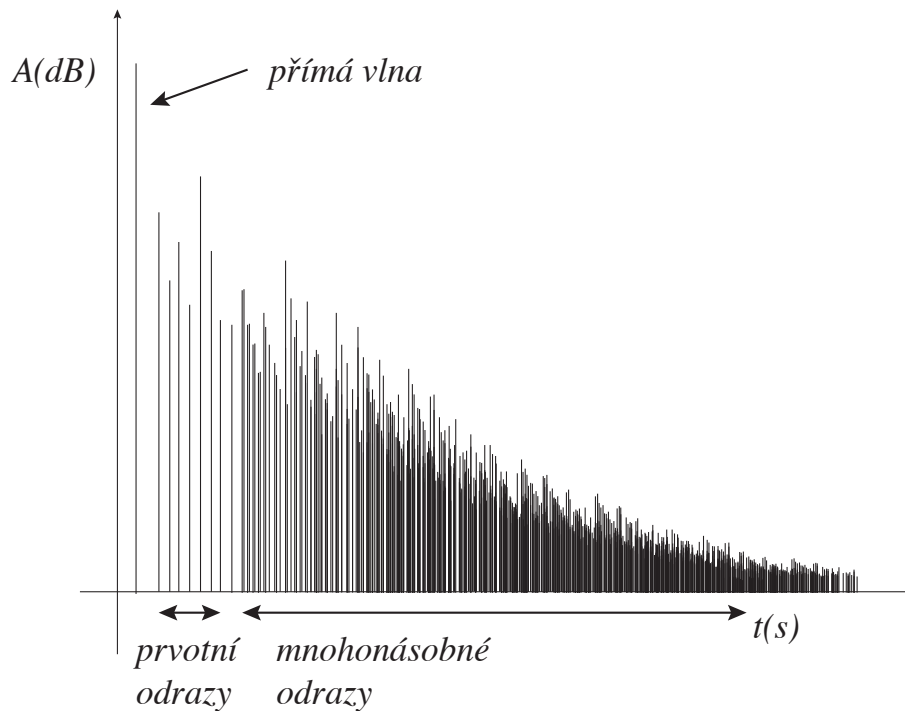
také jeho parametry měnit. Nejdůležitějším z těchto parametrů je pro nás doba dozvuku $t_{60}(f)$.

Pro zjednodušení si můžeme dozvuk rozdělit na více složek a to:

- Prvotní odrazy: simulace protních odrazů, řádově prvních 5-10. Ve složitějších simulacích můžeme zahuštěním těchto odrazů simulovat i následné odrazy.
- Mnohonásobné odrazy: simulují difúzní část dozvuku.

Aproximační přístup

Aproximační přístup používá impulsové odezvy prostoru, které se blíží impulsové odezvě prostoru, který se snažíme simulovat. Hledaná odezva musí být taková, aby náročnost výpočtu byla menší než u fyzikálního přístupu [12].



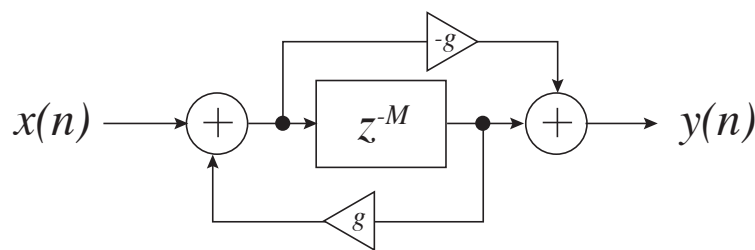
Obr. 1.1: Zjednodušený časový průběh dozvuku

1.2 Základní stavební prvky

1.2.1 Zpožďovací linka

Zpožďovací linka je základním stavebním blokem. V číslicovém zpracování signálů zpožďuje výstupní signál oproti vstupnímu o M vzorků.

$$\begin{aligned} M &= -3, \\ x(n) &= [1 \ 3 \ 5], \\ y(n) &= x(n) * z^{-M}, \\ y(n) &= [0 \ 0 \ 0 \ 1 \ 3 \ 5]. \end{aligned} \tag{1.2}$$



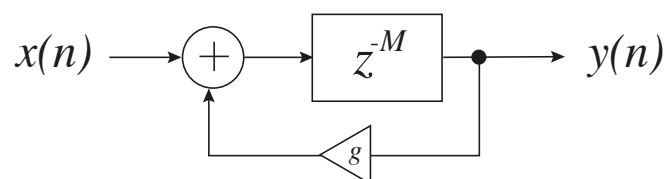
Obr. 1.2: Zpožďovací linka

1.2.2 Hřebenový filtr

Blokové schéma hřebenového filtru je na obrázku 1.3. Skládá se ze zpožďovací linky a jedné zpětné vazby. Přenosová funkce takového filtru je [4]:

$$H(z) = \frac{z^{-M}}{1 - gz^{-M}}, \tag{1.3}$$

kde M je zpoždění ve vzorcích a g je útlum zpětné vazby. Impulsová odezva takového filtru tedy bude obsahovat nenulové vzorky s exponenciálně klesající amplitudou M vzorků od sebe. Všechny ostatní vzorky budou nulové. Frekvenční odezva takového filtru bude mít tvar hřebenového filtru s maximy na $\frac{1}{MT}$ kde T je vzorkovací perioda [16].

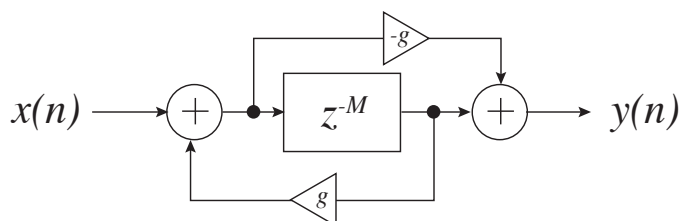


Obr. 1.3: hřebenový filtr

1.2.3 Fázovací článek

Pokud hřebenovému filtru přidáme dopřednou vazbu, viz obr 1.4 dostaneme *fázovací článek*, anglicky *allpass filter*. Frekvenční charakteristika fázovacího článku je rovna jedné. Neprovádí nám tedy žádné změny v modulovém spektru signálu [4].

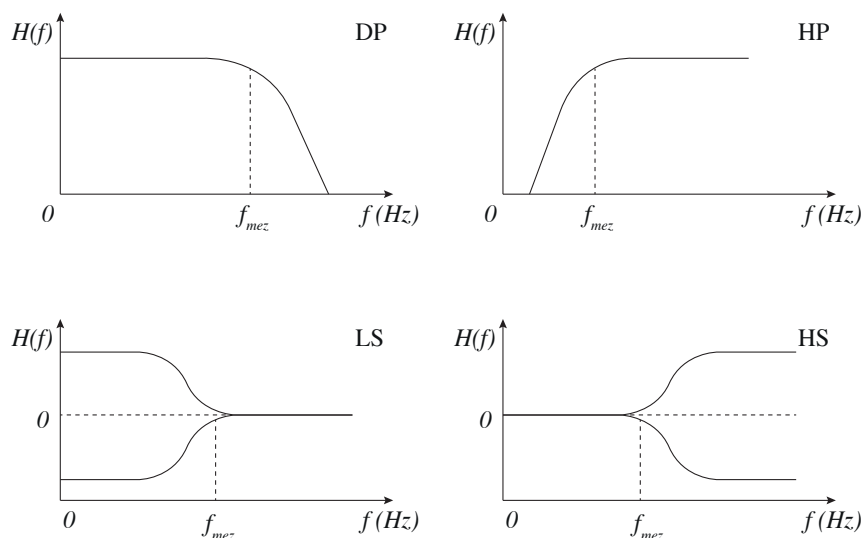
$$H(z) = \frac{z^{-M} - g}{1 - gz^{-M}} \quad (1.4)$$



Obr. 1.4: fázovací článek

1.2.4 Kmitočtové filtry

Principem kmitočtových filtrů je jejich schopnost propouštět beze změny určité části spektra, a ovlivňovat útlum nebo zesílení v částech ostatních. Mezi základní kmitočtové filtry řadíme *dolní propust*, která beze změny propouští kmitočty pod mezním kmitočtem, zatímco vyšší tlumí. Dále *horní propust*, která funguje opačně, tedy tlumí kmitočty pod mezním kmitočtem. Kombinací těchto základních filtrů s dopřednou vazbou získáme filtry typu shelving. Kmitočtové charakteristiky filtrů pro názornost jsou na obrázku 1.5.



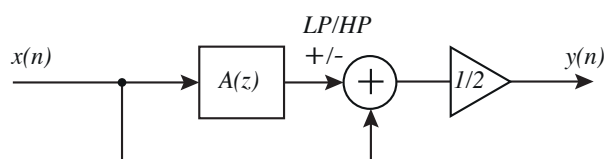
Obr. 1.5: Základní kmitočtové filtry

1.2.5 Filtry prvního řádu založené na fázovacích člancích

Mějme fázovací článek s funkcí [4]:

$$A(z) = \frac{z^{-1} + c}{1 + gz^{-1}}, \quad (1.5)$$

$$c = \frac{\tan(\pi f_m / f_v z) - 1}{\tan(\pi f_m / f_v z) + 1},$$



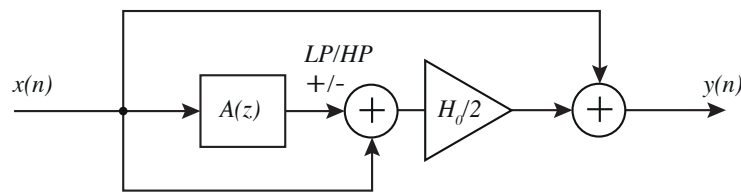
Obr. 1.6: horní/dolní propust realizovaná fázovacím článkem

kde f_m je mezní kmitočet filtru a f_{vz} je vzorkovací kmitočet. Dolní nebo horní propust prvního řádu za použití fázovacího článku lze zrealizovat jako součet, případně odečet, vstupního signálu a výstupu z fázovacího článku, jehož vstupem je vstupní signál, viz obrázek 1.6 Protože sčítáme 2 signály, je na výstupu potřeba výstupní signál váhovat hodnotou 0,5 [4].

V případě, že signály bude sčítat, bude tento systém fungovat jako dolní propust, pokud odečítat, budeme systémem realizovat horní propust.

1.2.6 Shelving filtry

Jako základní stavební prvek pro shelving filtry použijeme dolní/horní propust popsané výše. Přibude jedna dopředná vazba, a váhujeme na základě požadovaného zesílení, viz obrázek 1.7 a vzorec 1.6 [4].



Obr. 1.7: high/low shelving filter

$$H_0 = V_0 - 1 \quad \text{kde} \quad V_0 = 10^{G/20}, \quad (1.6)$$

kde G je požadované zesílení v decibelech.

Parametr c fázovacího članku bude různý pro případ kdy shelving filtrem zesílujeme a zeslabujeme. Definujeme tedy c_z pro zesílení a c_u pro útlum. Pro low shelving tedy parametry získáme jako [4]:

$$c_z = \frac{\tan(\pi f_c/f_s) - 1}{\tan(\pi f_c/f_s) + 1}, \quad (1.7)$$

$$c_u = \frac{\tan(\pi f_c/f_s) - V_0}{\tan(\pi f_c/f_s) + V_0},$$

a pro high shelving:

$$c_z = \frac{\tan(\pi f_c/f_s) - 1}{\tan(\pi f_c/f_s) + 1}, \quad (1.8)$$

$$c_u = \frac{V_0 \tan(\pi f_c/f_s) - 1}{V_0 \tan(\pi f_c/f_s) + 1}.$$

1.3 Prvotní odrazy

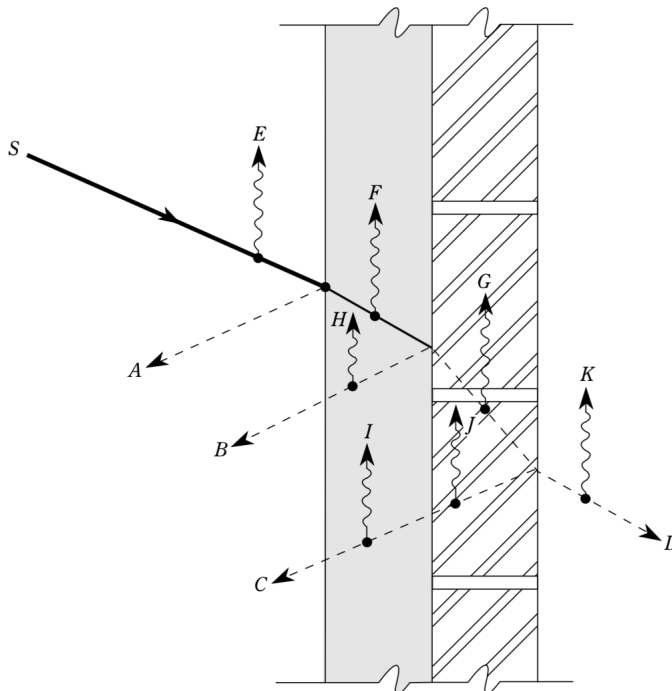
Prvotními odrazy při simulaci poslechových prostor rozumíme zdrojový signál, který k posluchači dojde se zpožděním, utlumen, kmitočtově filtrován a z jiného směru než signál původní. Nad všemi těmito parametry máme kontrolu, pokud máme o prostoru veškeré informace.

1.3.1 Odraz a absorpce

Na obrázku 1.8 je vidět situace kdy zvuková vlna s , narazí na překážku. Na obrázku uvažujeme překážku složenou ze dvou materiálů, jednoho s vyšší a druhého s nižší hustotou. Pro příklad můžeme uvést dřevěnou desku potaženou vrstvou koberce.

Ještě než vlna s dorazí k překážce, ztratí část své energie, která se promění v teplo vlivem tření v prostředí (na obrázku vyznačeno E). V momentě kdy vlna narazí na překážku, část její energie se odrazí, (odraz A) a část pokračuje dále překážkou. Vzhledem k tomu, že prostředí překážky je hustší než vzduch, změní směr šíření. Další část energie se přemění v teplo, vlivem tření v prostředí. To je znázorněno šipkou F . Tato ztráta je větší než ztráta ve volném prostředí E .

Když vlna dorazí na rozhraní dvou materiálů, opět dochází k odrazu, část energie prochází a pokud je prostředí hustější, změní se opět směr šíření.



Obr. 1.8: Odraz a absorpce převzato z [6]

Tab. 1.1: Absorpční koeficienty vybraných materiálů

	Frekvence (Hz)						poznámka
	125	250	500	1000	2000	4000	
Záclony	0,04	0,05	0,11	0,18	0,30	0,35	hustota $0,338 kg/m^2$ pověšený u zdi
Koberec	0,02	0,06	0,14	0,37	0,60	0,65	těžky koberec, položený na betonu
Dřevo	0,28	0,22	0,17	0,09	0,1	0,11	překližka, tloušťka $1 cm$
Beton	0,02	0,03	0,03	0,03	0,04	0,07	hrubý beton
Sklo	0,35	0,25	0,18	0,12	0,07	0,04	tabulka skla
Vata	0,08	0,25	0,45	0,75	0,75	0,65	skelná vata, tloušťka $25 mm$

Absorpci je možno změřit. Zavádíme tedy pojem *absorpční koeficient*, značíme nejčastěji a . Ten udává schopnost materiálu pohlcovat zvuk. *Absorpční koeficient* se nejčastěji udává jako bezrozměrné číslo v rozmezí nula až jedna. Pokud bychom měli materiál s koeficientem $a = 0$, znamená to že třicet procent zvuku bude pohlceno. Není možné aby jakýkoliv materiál měl koeficient větší než jedna. Také jej můžeme zjednodušeně uvažovat jako poměr mezi zvukem odraženým a absorbovaným. Můžeme tedy říct že například otevřené okno v místnosti má $a_{okno} = 1$.

Absorpční koeficient je však závislý na mnoha faktorech. Nejvýraznější změny jsou s frekvencí a úhlem, pod kterým zvuk na překážku dopadá.

V praxi se s absorpcí setkáváme v *sabínech*. Tato jednotka nám udává množství absorpce na plochu. *Absorpci* místnosti tedy vypočteme následovně:

$$A = S_1 a_1 + S_2 a_2 + S_3 a_3 + \dots, \quad (1.9)$$

kde A je *absorpce* v *sabínech*, S_i plocha, zaujímaná materiálem i a a_i je *absorpční koeficient* tohoto materiálu.

Absorpční koeficienty vybraných materiálů

V tabulce 1.1 jsou uvedeny *absorpční koeficienty* vybraných materiálů. Nejčastěji se v praxi setkáme s koeficienty udaných v šesti oktávových pásmech se středními kmitočty 125, 250, 500, 1000, 2000 a 4000 Hz [3].

1.3.2 Metoda zrcadlení zdrojů

Metodu pro zrcadlení zdrojů lze využít pro zjištění polohy virtuálních zdrojů zvuku, kterými můžeme zastoupit odrazy. Pro pravoúhlou místnost můžeme použitím této metody zrcadlové zdroje zjistit jednoduše, viz obrázek 1.9. Tato metoda však lze

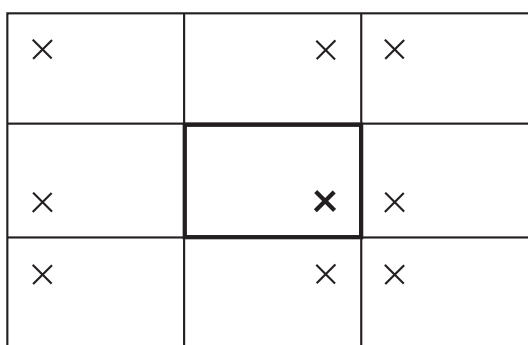
použít i pro složitější geometrii. Počet zrcadlených zdrojů odpovídá přibližně N^k kde N je počet stěn a k je řád odrazů [16].

Každá stěna geometrie nám dává jeden zrcadlový zdroj. Stěny tohoto zrcadlového zdroje nám opět umožňují vypočítat další zrcadlové zdroje. Můžeme tedy použít rekursivních algoritmů pro výpočet zrcadlových zdrojů vyšších řádů.

Pokud tedy víme vzdálenost mezi virtuálním zdrojem zvuku a posluchačem, můžeme vypočítat zpoždění a útlum daného odrazu pomocí vzorců 1.10 a 1.11 [19].

$$zpoždění = \frac{s}{c} f_s , \quad (1.10)$$

$$útlum = 20 \log_{10} \frac{s}{s_{max}} . \quad (1.11)$$



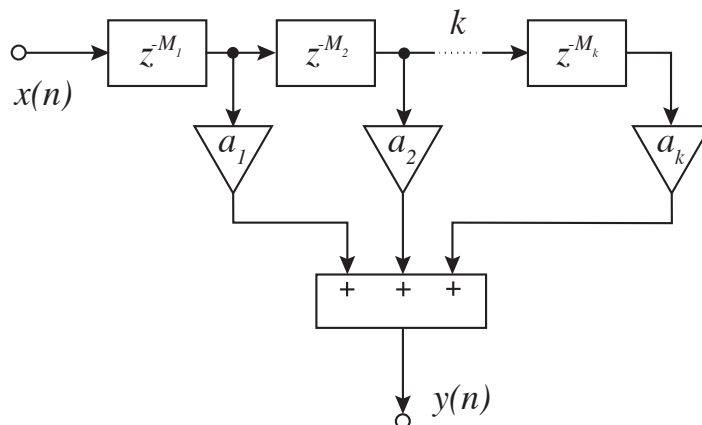
Obr. 1.9: Zrcadlené zdroje

1.3.3 Vliv prvotní odrazů

Prvotní odrazy mají velký vliv na vjem poslechového prostoru. Pokud čas těchto odrazů je více než 50 ms , vnímáme je jako jako oddělené zvuky, podobně jako bychom je získali pomocí efektu echo. Čím delší tato doba je, tím prostorněji na nás simulovaný prostor působí. Pokud čas odrazů je méně než 50 ms , vnímáme je jako součást samotného zvuku a mají vliv na barvu zvuku. Mohou také zvýšit jeho amplitudu a pro krátké časy také ovlivnit vnímaný směr, z kterého zvuk k posluchači přichází [16].

1.3.4 Simulace prvotních odrazů

Pro simulaci prvotních odrazů potřebujeme zpoždovací linku s více výstupy. Tedy tolika výstupy, kolik prvotních odrazů budeme simulovat.



Obr. 1.10: Blokové schéma zpožďovací linky s více výstupy

Na obrázku 1.10 je blokové schéma zpožďovací linky s k výstupy. Každý výstup je oproti vstupu opožděn o N_k vzorků a zároveň váhován koeficientem a_k . Na výstupu jsou všechny zpožděné signály sečteny.

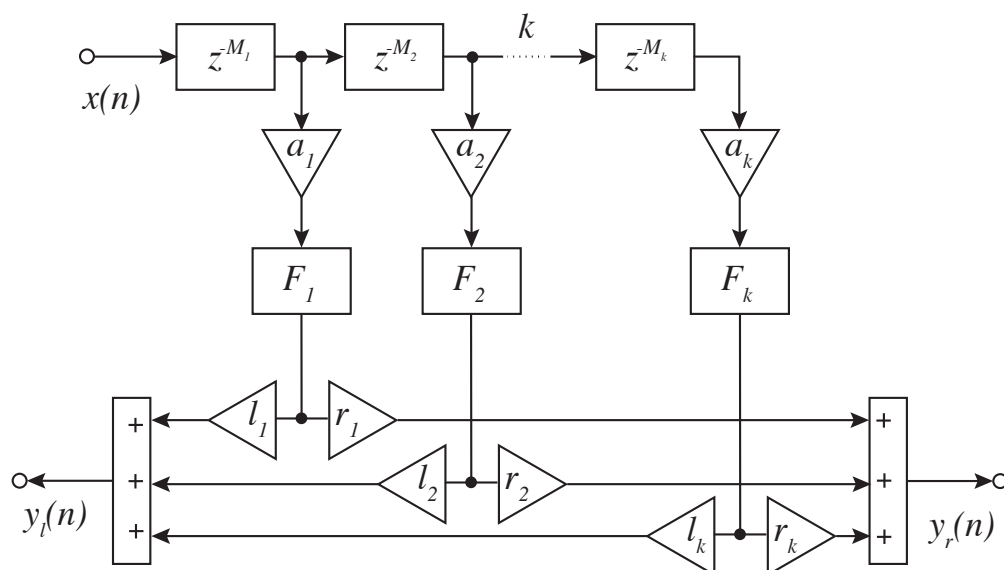
Pro naše potřeby je ale tento systém nedostatečný, protože nebere v potaz stereofonní poslech a absorpční vlastnosti prostoru. Proto jej musíme rozšířit o váhování pro každý z kanálů a kmitočtové filtry. V tomto případě uvažujeme pouze dva kanály, levý a pravý. Kmitočtovým filtrem můžeme rozumět filtr simulující kmitočtové absorpční materiálu. Pro zjednodušení můžeme uvažovat pouze dolní propust.

Na obrázku 1.11 tedy vidíme zpožďovací linku s více výstupy. Každý výstup zpožďovací linky má svoji váhu a_k , dále kmitočtový filtr F_k . Signál je poté rozdělen na 2 a váhami l_k respektive r_k váhován. Poté jsou zpožděné signály pro pravý a levý kanál nezávisle sečteny a poslány na výstup.

1.4 Panorámování

V této práci pro pozicování zvuku bude uvažován pouze stereofonní poslech pomocí dvou reproduktorů, případně sluchátek. Za typický ideální poslechový prostor považujeme dva reproduktory svírající úhel šedesát stupňů, tvořící spolu s posluchačem rovnostranný trojúhelník. Tato pozice posluchače je také známa jako *sweet spot*.

Přístupy k panorámování zdroje signálu jsou poté dva. Amplitudové panorámování, tedy různá intenzita signálu v obou kanálech a časově fázové panorámování, tedy signál přicházející z jednoho směru s časovým zpožděním oproti druhému směru [4].



Obr. 1.11: Blokové schéma zpoždovací linky pro simulaci k prvotních odrazů

1.4.1 Amplitudové panorámování

Amplitudovým panorámováním rozumíme různé intenzity zdrojového signálu v pravém a levém kanálu.

$$x_i(t) = g_i x(t), \quad i = 1, \dots, N, \quad (1.12)$$

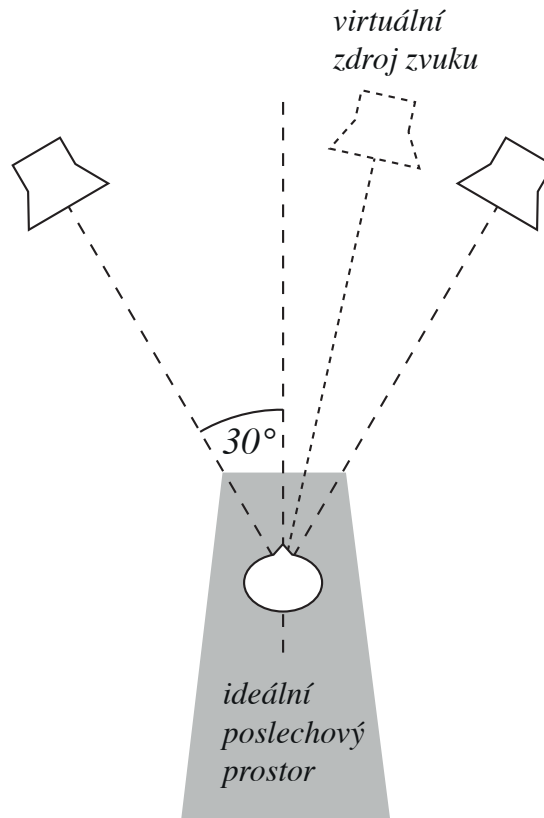
kde $x_i(t)$ je signál pro i -tý reproduktor a $g_i(t)$ je zesílení, případně útlum odpovídajícího kanálu. Pokud je posluchač od obou reproduktorů stejně vzdálen, poměr zesílení $g_i(t)$ nám vytvoří vjem zvuku přicházející z úhlu α .

Problémem při poslechu na reproduktory je, že signál z pravého kanálu se dostane i k levému uchu. Tento fenomén, známý jako *přeslech* je nejvýraznější na nízkých frekvencích. Na vysokých frekvencích nám hlava vytváří akustický stín a přeslechy tedy nejsou tak výrazné. Zároveň nám přeslechy mohou vytvářet v pozici uší hřebenové filtry a měnit barvu zvuku. Avšak při poslechu na standartní reproduktory tento efekt nebude příliš výrazný.[23]

Pro výpočet zesílení v jednotlivých kanálech na základě požadovaného úhlu mezi osou posluchače a virtuálním zdrojem zvuku využijeme tangentový zákon [4].

$$\frac{\tan \alpha}{\tan \alpha_0} = \frac{g_1 - g_2}{g_1 + g_2}. \quad (1.13)$$

Problém nastává pokud posluchač opustí *ideální poslechový prostor*, viz obrázek 1.12. Pokud by se například posunul více vlevo, i zdánlivá pozice virtuálního zdroje



Obr. 1.12: Stereofonní poslech

se posune více vlevo, protože bude v pozici posluchače výrazně převažovat zvuk přicházející z levého reproduktoru.

1.4.2 Panorámování pomocí časového a fázového zpoždění

Lidské ucho směr přicházejícího zvuku určuje jednak na základě rozdílu amplitud v obou uších, ale také na základě rozdílu času, v kterém zvuk dorazil na ušní bubínky. Tedy například zvuk přicházející zleva posluchače dorazí nejdříve do levého ucha a se zpožděním poté do ucha pravého. Pokud je tedy posluchač ve sweet spotu stereofonního poslechového prostoru, jako je na obrázku 1.12 a jeden kanál bychom zpozdili, pozice virtuálního zvukového zdroje se posune na stranu odpovídající nezpožděnému reprodukovánému kanálu.

Pokud ale máme signál, obsahující spíše nízké kmitočty, tento efekt nebude velmi výrazný. V extrémních případech se může stát že se v pozici posluchače dokonce na nižších kmitočtech dojde k odečtu. Panorámování pomocí zpoždění je tedy kmitočtově závislé.

Dalším postupem, kterým jde dosáhnout změny rozložení stereofonní báze signálu je otočením polarity signálu posílaného do jednoho z kanálů. Zatímco vyšší frekvence virtuálního zdroje zvuku zůstávají v takovémto případě ve středu stereofonní báze, pozice nižších frekvencí působí náhodně a širší[4].

1.5 Přenosová funkce vztažená k hlavě (Head related transfer function – HRTF)

Zvuk putující prostorem mění své vlastnosti. Stejně jako prostor na něj má vliv fyziologie lidského těla. Zvuk, který dopotuje k ušním bubínkům, je v každém uchu jiný. Vzhledem k vzdálenosti mezi ušima může zvuk dorazit ke každému bubínku v jiný čas a s různou amplitudou. Stejně tak naše hlava může pro zvuky přicházející ze stran vrhat akustický stín. Ten je výrazný pro vyšší frekvence nad 2 kHz. Uspořádání ušních boltců a ramen, a odrazy zvuku od nich také ovlivňují výsledný zvuk. Soubor těchto přenosových funkcí se označuje v anglické literatuře jako *head related transfer function*, zkráceně HRTF, nebo *přenosová funkce vztažená k hlavě*. Je obecně závislá na poloze a orientaci posluchače vůči zdroji zvuku [23] [9].

Nevýhodou HRTF je v praxi nutnost použití sluchátek, abychom eliminovali přeslechy mezi ušima. Dále fakt, že každá hlava má přenosovou funkci hlavy mírně odlišnou. Pokud bychom ale HRTF chtěli použít při simulaci prvotních odrazů dozvuku, blokové schéma by se rozšířilo o bloky simulující HRTF. Takovéto blokové schéma je na obrázku 1.13.

1.6 Mnohonásobné odrazy

1.6.1 Doba dozvuku

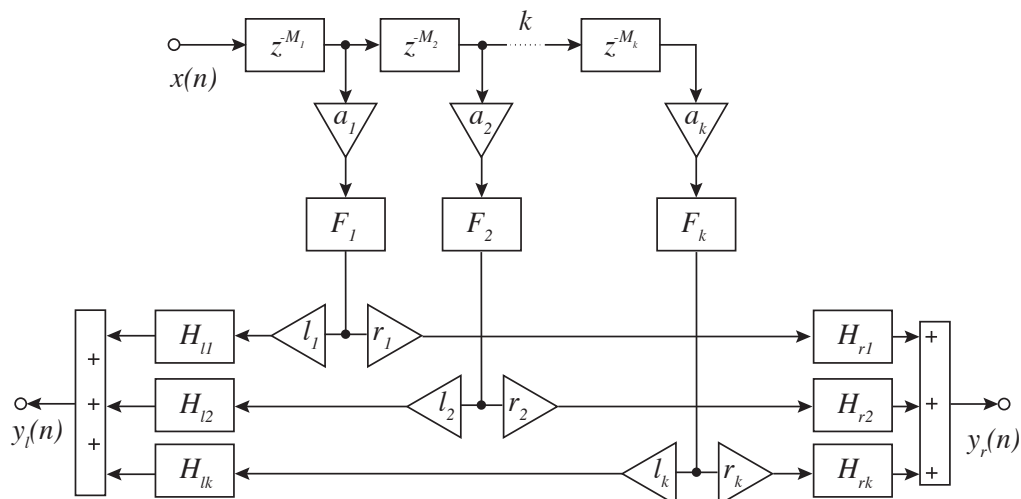
Časem dozvuku rozumíme čas, za který hladina akustického tlaku v místnosti po vypnutí zdroje zvuku klesne o 60 dB. Tento čas je úměrný velikosti prostoru a nepřímo úměrný celkové absorpci místnosti.

$$T_r \approx \frac{V}{A}, \quad (1.14)$$

kde T_r je doba dozvuku, V objem místnosti a A celková absorpce místnosti.

Vzhledem k tomu že pohltivost je frekvenčně závislá veličina, typicky jsou materiály více pohltivé na vyšších frekvencích a podstatně méně účinné na nižších, je i doba dozvuku frekvenčně závislá veličina [16].

Doba dozvuku T_{60} lze také vypočítat pomocí vzorce 1.15.



Obr. 1.13: Blokové schéma zpožďovací linky pro simulaci k prvotních odrazů s využitím HRTF

$$T_{60} = \frac{24 \ln(10)}{c_{20}} \frac{V}{Sa}, \quad (1.15)$$

kde c_{20} je rychlost zvuku při 20 stupních Celsia, V objem místnosti a součin Sa celková absorpce v Sabinech [3].

Útlumová křivka energie (Energy decay curve - EDC)

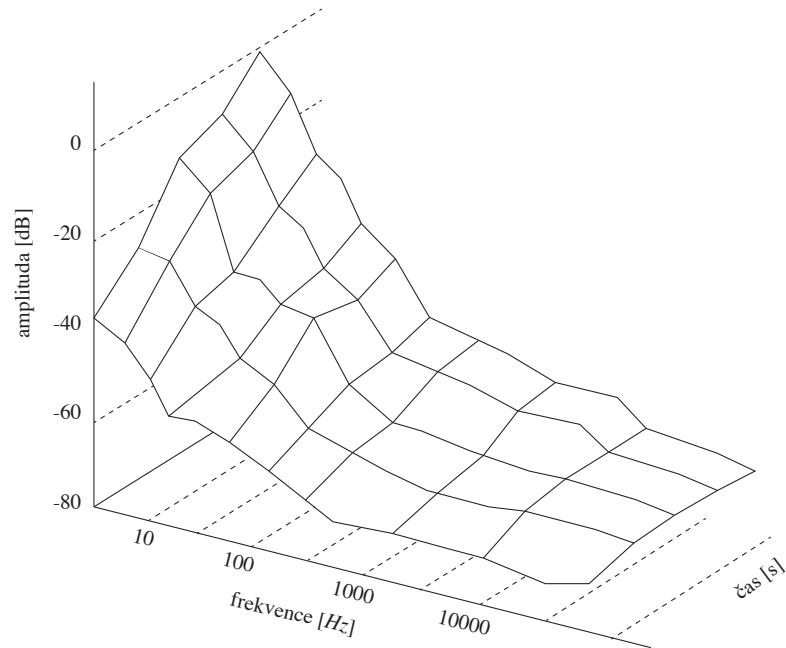
Pro měření času dozvuku t_{60} lze použít EDC, což je integrál druhé mocniny impulsové odezvy v čase t . Tento vzorec je také známý jako Schroederův integrál [22] str 55.

$$EDC(t) = \int_t^\infty h^2(\tau) d\tau. \quad (1.16)$$

Útlumový reliéf energie (Energy decay relief)

Rozšiřuje EDC o frekvenční závislost. Je funkcí času a frekvence. Je nejčastěji vykreslován jako 3D graf a efektivně nám znázorňuje úbytek energie v závislosti na čase na různých frekvencích [22] str. 55.

V reálných místnostech můžeme vždy pozorovat, že doba dozvuku na vyšších kmitočtech je kratší než na kmitočtech nízkých.



Obr. 1.14: Útlumový reliéf energie

1.6.2 Požadované kvality mnohonásobných odrazů

Pro přirozeně znějící mnohonásobné odrazy difúzní části dozvuku požadujeme:

- hladký postupný útlum
- hladkou frekvenční odezvu

Ideální pro nás je blížit se vjemově bílému šumu. Nežádoucí pro nás je takzvané dýchání, flutter nebo podobné aktefakty. Toho prakticky můžeme docílit vysokou hustotou jednotlivých odrazů [22]. Počet odrazů by měl s časem narůstat kvadraticky a nepřímo úměrně objemu.

1.7 Struktury pro simulaci mnohonásobných odrazů

Tato část se bude věnovat různým přístupům pro simulaci mnohonásobných odrazů. Přístupy zde popsané jsou seřazeny chronologicky od prvních pokusů s paralelními hřebenovými filtry, all pass filtry až k obecnějším přístupům za použití zpětnova-zebních matic (FDN) [5].

1.7.1 Schroederův reverberátor

Manfred Schroeder byl jeden z prvních, kteří začali experimentovat s allpass filtry pro simulaci mnohonásobných odrazů. Právě na jeho práci je založena velká část následného vývoje na tomto poli.

Pro simulaci používal fázovací články v kombinaci s hřebenovými filtry [21].

Schroederův reverberátor

Nevýhodou hřebenového filtru je jeho slyšitelné zabarvení signálu. Pro krátké opakující se simulované odrazy bude zabarvení velmi výrazné. Mimo maxima hřebenového filtru bude úbytek energie velmi rychlý. Pokud bychom se snažili tento problém vyřešit delším zpožděním, budou slyšet jednotlivá opakování spíše jako *echo*.

Tento problém by měl být řešitelný použitím fázovacích článků, které mají frekvenční odezvu rovnou.

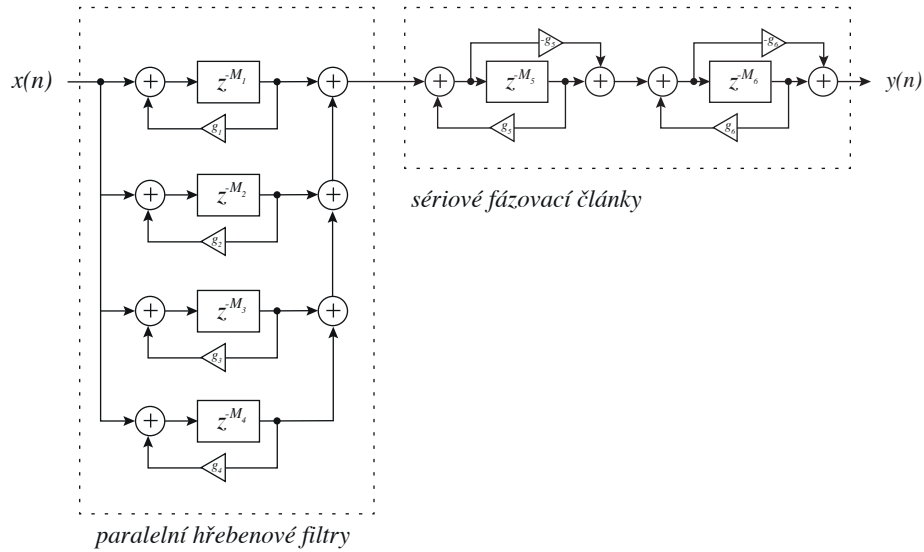
Pokud se snažíme zvýšit hustotu odrazů, je efektivní zařadit fázovací články do série. Docílíme tím toho, že následující články vytváří odrazy z odrazů které vytvořily články předchozí. Problémem je využití hřebenových filtrů v sérii. To z důvodu jejich filtrace kmitočtového spektra. Následující články pracují s již omezeným spektrem po průchodu články předchozími. Je ale možné zařadit je paralelně. Paralelní kombinace hřebenových filtrů s různými dobami zpoždění může vytvořit velmi hustý a přirozeně znějící základ pro další zpracování. Hustota odrazů je v tomto případě součtem hustot odrazů výstupů jednotlivých hřebenových filtrů.

Schroeder navrhl reverberátor skládající se z paralelní kombinace hřebenových filtrů a následné sériové kombinace fázovacích článků, viz 1.15

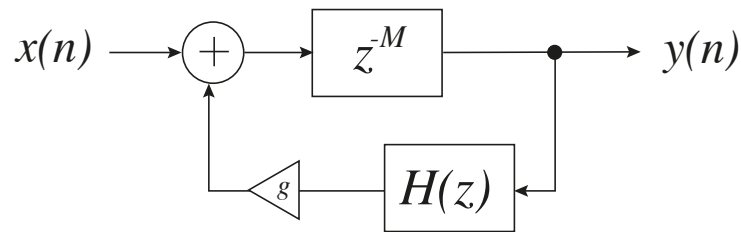
1.7.2 Moorerův reverberátor

Schroederův reverberátor je funkční pro krátké časy, ale pro delší časy a impulsní zvukové zdroje může vytvářet nepříjemné a nepřírozené artefakty. Především pocit dýchání a třepotání zvuku. Pro delší časy dozvuku se také může zdát pozdější část dozvuku výrazně zabarvená. Největším problémem ale je, že hustota odrazů neodpovídá realitě a nenarůstá s časem. Stejně tak frekvenční spektrum dozvuku není časově závislé.

Moorerův reverberátor využívá principu Schroederova, ale přidává některá vylepšení. Aby vyřešil poslední zmiňovanou nevýhodu Schroederova přístupu, tedy absenci frekvenční závislé doby dozvuku, vložil do každé zpětné vazby hřebenových filtrů dolní propust prvního řádu. Tím tedy jednoduše docílil že kratší doby dozvuku na vyšších kmitočtech oproti kmitočtům nižším [16, 17].



Obr. 1.15: Schroederův reverberátor

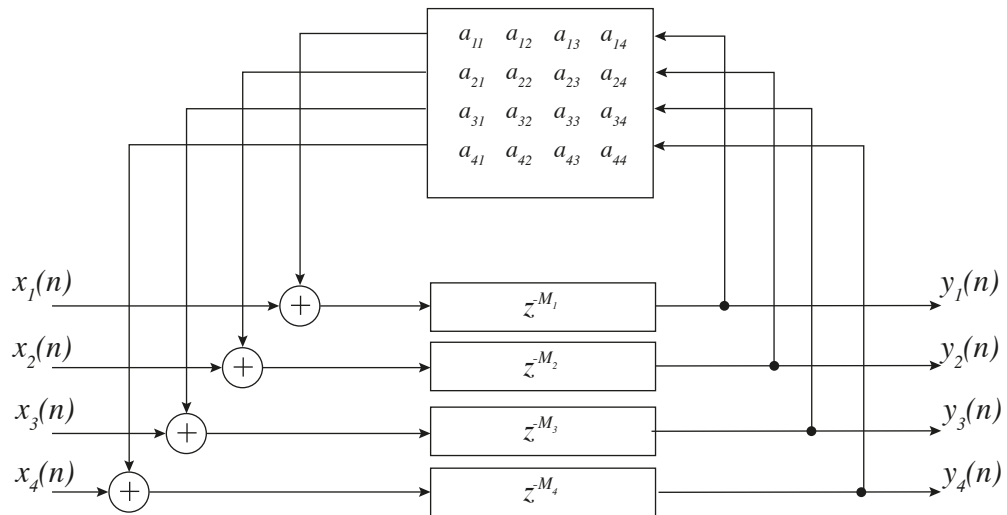


Obr. 1.16: Moorerův hřebenový filtr

1.7.3 Zpětnovazebná zpožďovací matice (Feedback delay network)

J. Stautner a M. Puckette navrhli strukturu pro simulaci poslechových prostor na základě *zpětnovazební zpožďovací sítě* (feedback delay network). Ta se skládá ze čtyř zpožďovacích linek a zpětnovazebné matice, viz obrázek 1.17

Tato struktura umožňuje aby výstup každé zpožďovací linky byl přiveden na vstup ostatních zpožďovacích linek, na základě parametrů daných maticí. Díky této struktuře je možné dosáhnout podstatně vyšší hustoty odrazů, než v případě Schroederova reverberátoru, pokud má matice dostatek nenulových prvků. Zajímavé je, že v případě jednotkové matice, nám FDN funguje identicky jako paralelní kombinace hřebenových filtrů [16, 4].



Obr. 1.17: Čtyřkanálová FDN

Stautner a Puckette navrhli následující matici:

$$\mathbf{A} = g \frac{1}{\sqrt{2}} \begin{bmatrix} 0 & 1 & 1 & 0 \\ -1 & 0 & 0 & -1 \\ 1 & 0 & 0 & -1 \\ 0 & 1 & -1 & 0 \end{bmatrix}, \quad (1.17)$$

kde \mathbf{A} je zpětnovazební matice, a g je zpětnovazební koeficient. Pro stabilitu systému musí být splněno že $|g| < 1$.

Tento systém však nebude schopný produkovat dozvuk který je kmitočtově závislý. To je ale pro přirozeně znějící dozvuk klíčová vlastnost. Na práci Stautnera a Pucketta dále stavěl Jot [5].

Jotův reverberátor

Jotovým záměrem bylo vytvořit reverberátor schopný simulovat absorpční vlastnosti. Tedy reverberátor schopný kmitočtově závislé doby dozvuku.

Toho docílil tím, že za každou zpožďovací linku FDN, obdobně jako Moorer, zařadil kmitočtový filtr [10].

1.7.4 Reverberátor založený na sametovém šumu (Velvet Noise Reverberation)

Jak již bylo zmíněno, v ideálním případě se difúzní část dozvuku, po odeznění prvotních odrazů, vjemově přibližuje šumu.

Z frekvenčního hlediska můžeme na odezvu místnosti pohlížet jako na odeznívající sinuoidy s hustotou N_{mod} (počet módů místnosti na jeden Hz), která roste s frekvencí.

$$N_{mod}(f) = 4\pi V f^2 / c^3 , \quad (1.18)$$

Z pohledu času, lze na odezvu místnosti pohlížet jako na sérii odrazů od jednotlivých ploch s rostoucí hustotou odrazů N_{odr} s časem.

$$N_{odr}(t) = 4\pi c^3 t^2 / V , \quad (1.19)$$

Difúzní část dozvuku je tedy možno aproximovat sekvencí impulsů, vážených exponenciálním útlumem [11]. Pro fyzikální simulaci pomocí konvoluce signálu s impulsovou odezvou prostoru bychom potřebovali $N = f_s T$ počet vzorků, kde N je počet vzorků, f_s vzorkovací frekvence a T požadovaná doba dozvuku. Lze však požit FIR s řídkou impulsovou odezvou, která bude podstatně efektivnější na zpracování. Experimentálně bylo zjištěno, že pro dostatečnou hustotu simulovaných odrazů je potřeba impulsová odezva obsahující alespoň 2000 nenulových hodnot za vteřinu [11].

2000 vzorků na vteřinu je však stále hodně. Při požadovaném dozvuku 3 vteřiny se dostáváme k šesti tisícům vzorků. Pokud bude používat vzorek délky 100 ms obsahující 200 nenulových koeficientů, zachováme požadovanou hustotu 2000 nenulových koeficientů za sekundu. V zpětné vazbě je nutno mít zařazen zpoždovací článek odpovídajícího zpoždění. Dále je možno tento algoritmus rozšířit o dolní propust zařazenou ve zpětné vazbě, pro simulování frekvenční závislosti dozvuku [20].

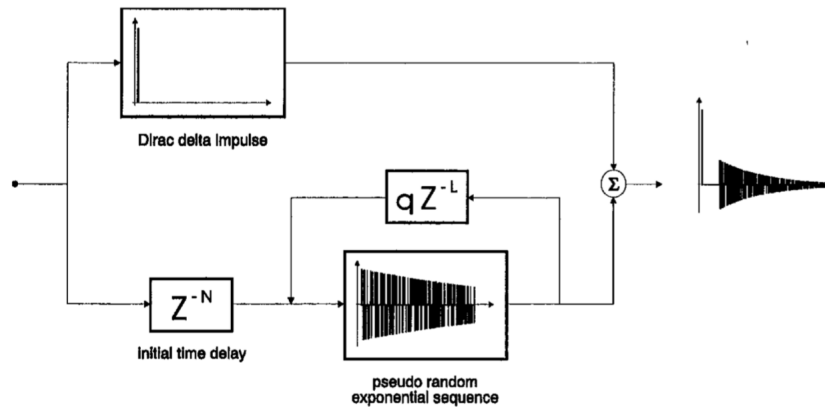
Diskrétní časová odezva takového systému tedy bude následující:

$$g[n] = h[n] + qh[n - L] + q^2h[n - 2L] + \dots , \quad (1.20)$$

kde $h[n]$ je náhodný signál a q udává útlum zpětné vazby, tedy $0 < q < 1$;

Sametový šum

Bylo zjištěno, že některé řídké pseudo náhodné impulzní sekvence jsou subjektivně vnímány jako šum, který působí jemněji a přirozeněji než Gaussovský bílý šum.

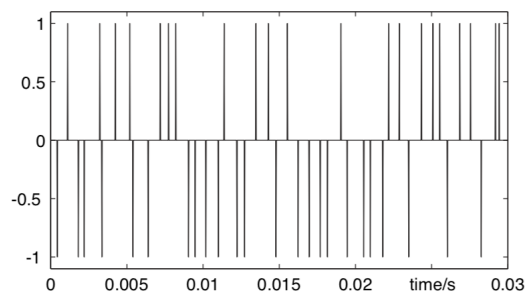


Obr. 1.18: Schéma systému pro pseudo náhodný generátor dozvuku, převzato [20]

Takováto posloupnost diracových impulsů s proměnlivými znaménky lze vygenerovat následovně:

$$n(k) = \sum_{m=1}^M a(m)u(k - \text{round}(\frac{T_d}{T_s}(m + \text{rnd}(m)))) , \quad (1.21)$$

kde $\text{rnd}(m)$ je funkce generující náhodné číslo v rozmezí 0 až 1, $\text{round}(\dots)$ zaokrouhluje argument funkce na celá čísla a funkce $a(m)$ náhodně mění znaménko. T_d je průměrná doba mezi impulsy, tedy obrácená hodnota impulsní hustoty) a T_s je vzorkovací perioda. Pro ilustraci, na obrázku 1.19 je vidět třiceti milisekundová sekvence, generovaná pomocí vzorce 1.21.



Obr. 1.19: sekvence sametového šumu o délce 30 ms s hustotou 1500 špiček za sekundu, převzato [11]

2 Herní engine Unity

2.1 Herní engine

Pod pojmem herní engine rozumíme softwarové vývojové prostředí primárně určené pro tvorbu digitálních her. Nejdůležitějšími jeho vlastnostmi je podpora vykreslování dané scény v reálném čase, a to buď ve třírozměrném nebo dvourozměrném prostoru, simulaci fyziky a kolizí a podporu zpracování zvuku v reálném čase. Pro práci se zvukem nás nejvíce zajímá možnost automatizace parametrů. Základní je simulace poslechového prostoru, tedy panorámování a možnost ovládání hlasitosti jednotlivých zvukových zdrojů na základě jejich polohy ve virtuálních prostorách vůči poloze posluchače. Většina dnešních engineů ale nabízí i možnost realtime zpracování zvukového signálu pomocí efektových jednotek jak je známe z DAW softwarů. Nalezneme v nich typicky kmitočtové filtry, dynamické procesory, zvukové generátory a mnoho dalších. Ideálně ve vývojovém prostředí najdeme i možnost různých sběrnic, připomínajících architektury mixážních pultů pro zjednodušení práce. Dále v této práci budou popsány specifika herního engineu Unity.

2.2 Historie

Herní engine *Unity*, původně *Unity3D*, byl poprvé představen v roce 2005 jako herní engine exkluzivní pro systém OS X, dnes MacOS. Už od počátku byl mířen na nezávislé vývojáře. Sami jeho tvůrci původně měli zájem o tvorbu her, ale chyběl jim dostatek dostupných kvalitních technologií. Všechny enginey v té době byly produkovány velkými herními společnostmi. Byly tedy drahé, často velmi specializované a pro začínající vývojáře v podstatě nedostupné. Cílem Unity bylo vytvořit univerzální herní engine dostupný všem. Zároveň tento engine neslouží jen pro vývoj digitálních her. Více než třetina uživatelů jej využívá k jiným účelům, například architektuře nebo uměleckým instalacím.

Brzy po vydání byla přidána podpora pro systém Windows a také podpora Unity Web Player. Unity se velmi soustředilo na možnost hraní v internetovém prohlížeči, kde v této době vedl Flash Player. V současné době nabízí možnost exportu do HTML5 WebGL s velmi dobrou optimalizací.

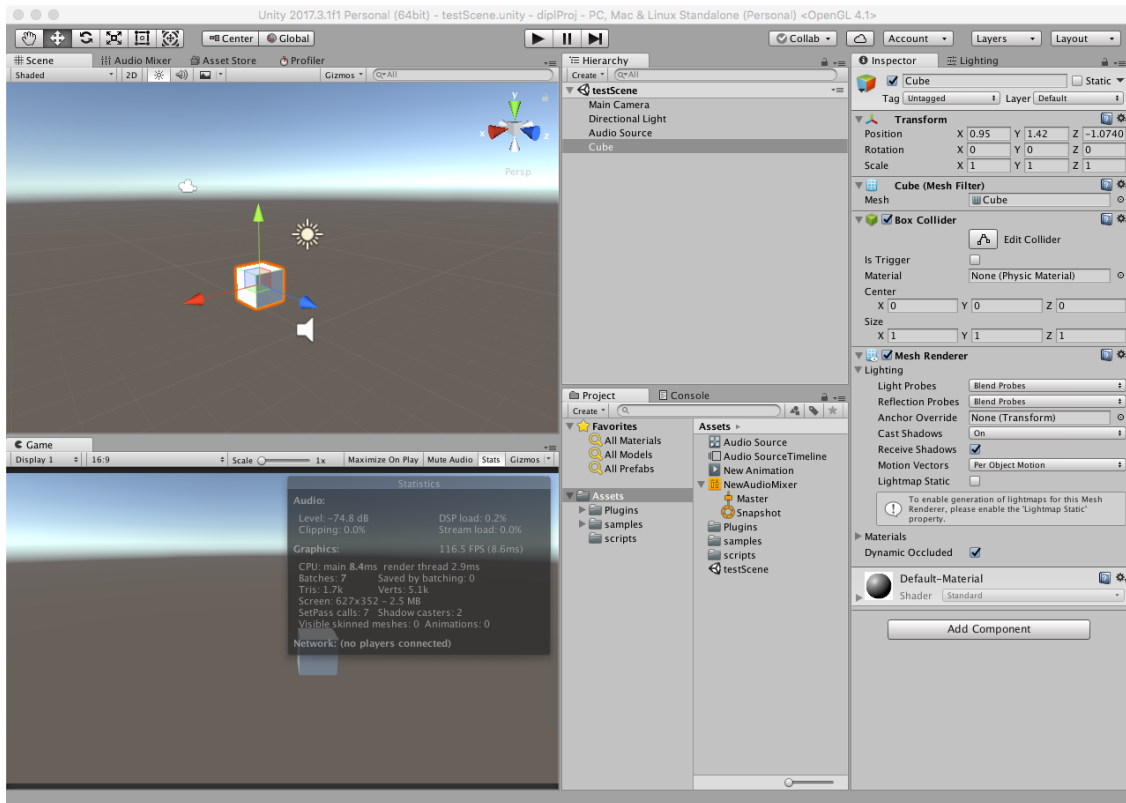
S příchodem smartphonů byla brzy přidána podpora systémů iOS a Adroid. Bylo to právě obrovskou popularitou těchto platforem, díky kterým se Unity stalo v současné době světově nejpoužívanějším herním engineem.

V současné době Unity podporuje všechny desktopové systémy, tedy *Windows (a Universal Windows Platform)*, *MacOS* a *Linux*. Stejně tak mobilní platformy *iOS*, *Android*, *Windows Mobile* a všechny konzolové systémy (*Playstation 3/4*, *XBOX*

360/ONE, Nintendo Switch,). Také podporuje naprostou většinu systému pro virtuální realitu (*Oculus Rift*, *Gear VR*, atd.) a také již zmíněné WebGL, umožňující hraní v jakémkoliv moderním prohlížeči bez nutnosti zásuvných modulů [8].

Unity je zdarma volně ke stažení ve své plné verzi. Kompletní dokumentace je k dispozici na webových stránkách Unity.

2.3 Editor



Obr. 2.1: Unity Editor

Vývojové prostředí Unity, označované jako *Editor* je na obrázku 2.1. Toto je standardní rozložení vývojového prostředí. Oken je ovšem mnohem více, dají se libovolně přesunovat a zvětšovat.

V jeho levé horní části je záložka *Scene*. Ta slouží pro tvorbu dané scény, tedy vidíme zde všechny objekty, které ve scéně máme, můžeme s nimi pohybovat, případně je rotovat a zvětšovat. Na obrázku 2.1 tedy ve scéně máme jen krychli, světlo, kameru a jeden zvukový zdroj.

V levé spodní části je okno *game*, kde vidíme scénu v reálném čase pohledem z kamery, tedy jak hru uvidí hráč. V *editoru* lze přecházet mezi módy *edit* a *play*.

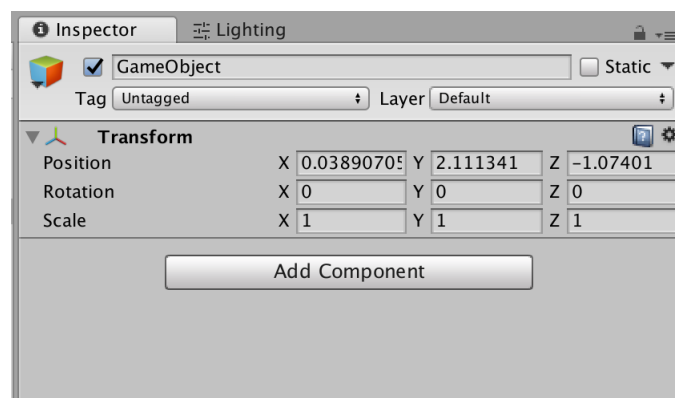
V *play* módu můžeme v okně hru přímo hrát, bez nutnosti buildu celé hry. Výhodou také je že v *play* módu máme možnost měnit veškeré parametry scény a objektů v ní.

Dále uprostřed dole je okno *Project*. To odpovídá *Finderu* v systému MacOS, případně *Exploreru* v systému Windows. Zde se nachází stromová struktura celého projektu. V případě hry tedy typicky veškeré *assets*, rozřazené do složek. Pojmeme *asset* rozumíme jakýkoliv zdrojový soubor, který v projektu využíváme. Jde tedy o veškeré scény, modely, textury, zvukové soubory, ale také skripty, shadery, materiály a tak dále.

Uprostřed nahoře je okno *Hierarchy*. V tomto okně je výčet všech *GameObjectů* v právě načtené scéně, případně scénách. Na obrázku 2.1 zde tedy vidíme *GameObjeckty* kamery, světla, zdroje zvuku a krychle stejně jako v okně *Scene*.

Poslední okno v pravé části obrazovky je okno *Inspector*. V tomto okně jsou veškeré *componenty* vybraného *GameObjectu*. V následující kapitole budou tyto pojmy blíže vysvětleny. V našem případě zde jsou *componenty* vybraného, tedy objektu krychle [14, 15].

2.3.1 GameObject

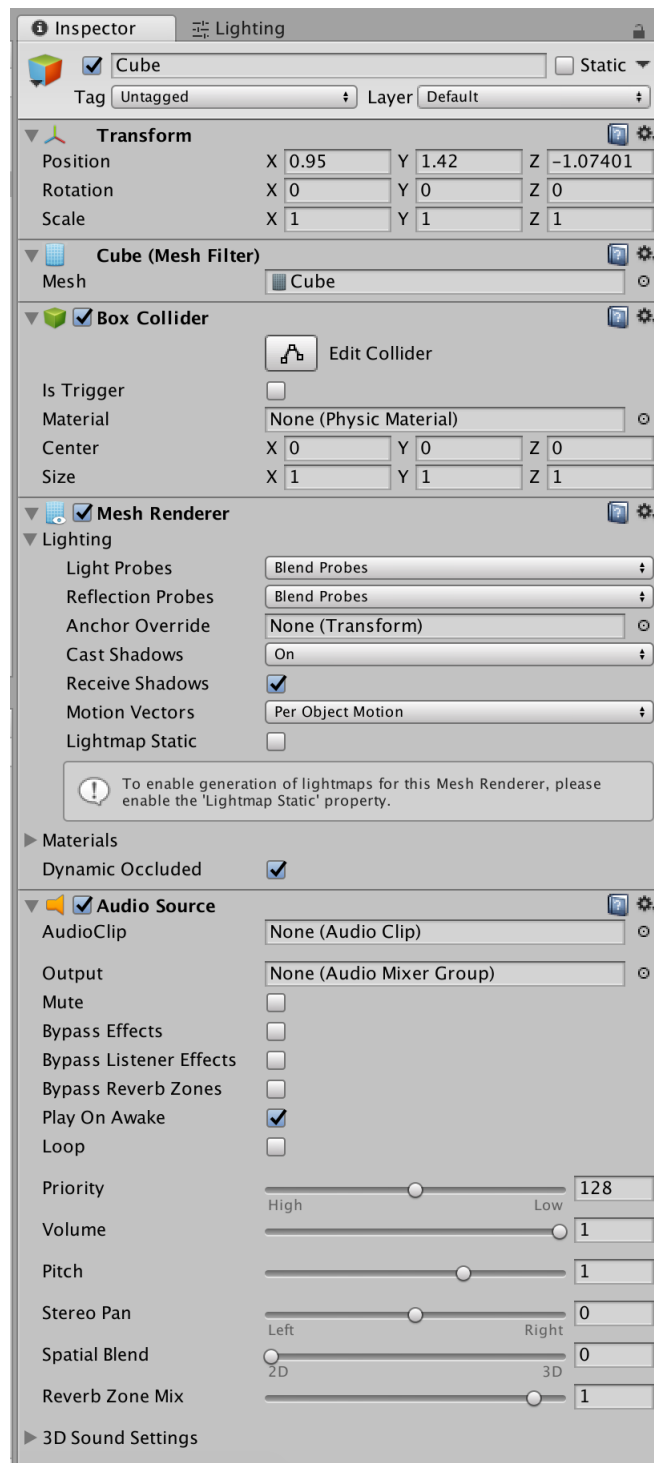


Obr. 2.2: GameObject

GameObject je základním stavebním prvkem scény. Každý *GameObject* má jasně definovanou svoji polohu, rotaci a velikost v prostoru scény. Ty jsou dány *componentou Transform*. Chování daného *GameObjectu* je poté dáno jeho *componentami*.

2.3.2 Component

Componenty jsou v podstatě skripty ovlivňující chování daného *GameObjectu* v herním enginu. Uvedme si příklad na obrázku 2.3.



Obr. 2.3: Componenty

Tento *GameObject* má 5 component. První je *Transform*, který je nezbytný pro každý objekt. Jak už bylo zmíněno, určuje pozici, rotaci a měřítko objektu. Tyto tři hodnoty jsou definovány pomocí tří veřejně přístupných proměnných datového typu

Vector3.

Další je componenta *Mesh Filter*. Ta určuje geometrii daného objektu, jejím jediným parametrem je reference na zdrojový soubor obsahující mesh.

Componenta *Box Collider* nese informace pro simulaci kolizí. Má informace o geometrii krychlového collideru, daného opět dvěmi proměnnými *Center* a *Size* typu **Vector3**, dále referenci na fyzikální materiál, určující fyzikální vlastnosti daného objektu, a jeden parametr typu **bool** určující zda se jedná o skutečně kolizní objekt nebo jen zpouštěč událostí.

Mesh Renderer je componentou zajišťující vykreslování objektu na základě geometrie a dalších parametrů. Zde nastavujeme například materiály, interakci se světly atd.

Poslední componentou, která nás zajímá nejvíce, je *Audio Source*. Tuto componentu si probereme podrobněji.

2.3.3 Bázové třídy

V této části by bylo dobré zmínit také některé bázové třídy, z kterých mohou vycházet uživatelsky vytvářené skripty v jazyce C#. Ty slouží pro určení vlastní herní logiky v rámci engine, editaci parametrů v reálném čase, zpracování vstupů atd. Enginem jsou tyto skripty vnímány na stejné úrovni jako *Componenty*, tedy mohou se na ně odkazovat a naopak.

MonoBehaviour

MonoBehaviour je bázová třída, z které defaultně dědí veškeré uživatelsky vytvářené skripty a je používána jako bázová třída pro většinu vytvořených ovládacích skriptů.

Jejími základními funkcemi jsou funkce **Awake()** a **Start()**. Ty jsou volány při vytvoření objektu, případně přidání componenty na objekt. V případě že objekt existuje ve scéně před jejím způštěním, tedy že nevzniká dynamicky během běhu programu, jsou tyto funkce volány při zpuštění [18].

Nejpoužívanější funkcí je funkce **Update()**, která je volána při každém snímku. Tzn pokud se hra vykresluje na frekvenci 60 snímku za vteřinu, tato funkce bude volána šedesátkrát za vteřinu. Podobnou funkcí je **FixedUpdate()**, která je volána s pevně danou periodou, využívá se především pro simulaci fyziky. Více informací lze najít pod heslem *MonoBehaviour* v dokumentaci, viz [27].

Editor

Editor je bázová třída umožňující změnu defaultního uživatelského rozhraní (GUI) skriptů dědicích z **MonoBehaviour**.

V rámci inspektoru tedy můžeme na GUI skriptu vytvářet textová pole, posuvníky, zadávat křivky atd. Je nutné aby skript dědic z třídy `Editor` měl stejný název jako skript, jehož GUI přetěžuje, doplněn o slovo "Editor". Tedy například skript `ReverbVolume.cs` bude mít odpovídající skript `ReverbVolumeEditor.cs`. Pro správné fungování je dále nutné mít tyto skripty umístěny ve složce `Editor` v hlavní složce `Assets`. Více informací lze najít pod heslem `Editor` v dokumentaci, viz [27].

2.3.4 Audio Source

Audio Source componenta (a jí odpovídající třída `AudioSource`), je hlavní nástroj pro přehrávání zvuku ve scéně v Unity. Její uživatelské rozhraní je vidět na obrázku 2.4. Jeho hlavním parametrem je reference na zdrojový soubor typu `AudioClip`. To může být jakýkoliv zdrojový soubor podporovaného formátu, tedy `.mp3`, `.ogg`, `.wav`, `.aiff`. [26]

Dalším parametrem je cílový `Audio Mixer Group`. Co to je a k čemu slouží bude rozepsáno později. Pokud není žádný vybrán, signál jde přímo do hlavního výstupu. Dále zde je 6 parametrů typu `bool`. Ty není nutné podrobně vysvětlovat, jejich název je dostatečně vypovídající.

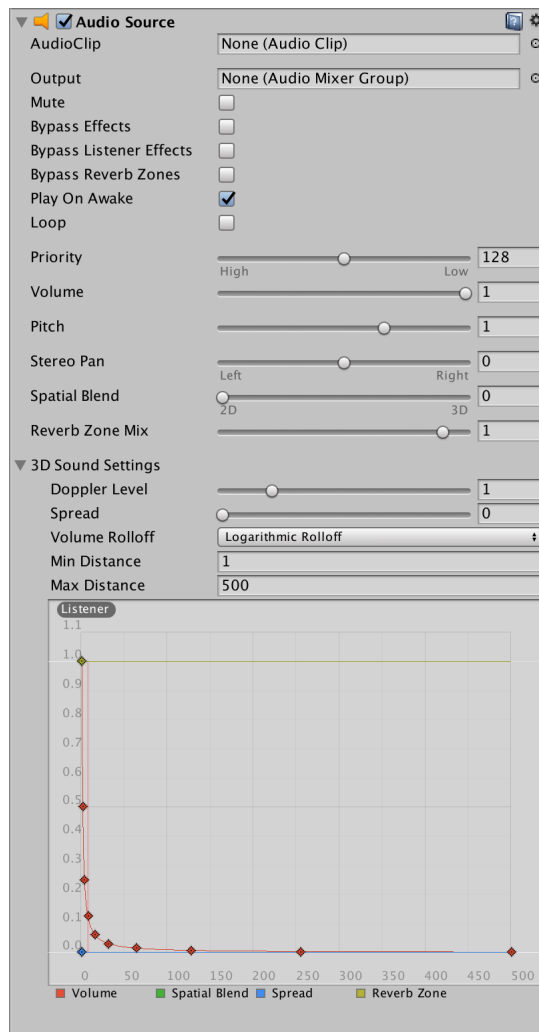
Unity je schopné přehrávat maximálně 32 instancí Audio Source zároveň. Parametrem `priority` jednoduše určujeme, které objekty engine vypne při překročení tohoto limitu. Priorita 0 je maximální. Typicky tedy například hudba bude mít prioritu 0. `Volume` udává hlasitost daného zdroje zvuku, `Pitch` rychlost přehrávání, `Stereo Pan` rozložení ve stereofonní bázi.

Parametr `Spatial Blend` určuje v jaké míře bude zvuk pozicován na základě vzájemné polohy posluchače a zdroje zvuku. V případě že bude posuvník parametru vlevo u popisky `2D`, nebude ovlivňován nijak, tedy pouze na základě předchozího parametru `Stereo Pan`. Toto se využívá pro hudbu, ambientní zvuky, případně dialogy. V případě posuvníku zcela vpravo, bude zvuk ovlivňován plně, využijeme toho tedy pro všechny zvukové objekty ve scéně. Poslední parametr `Reverb Zone Mix` určuje jak moc bude zvuk ovlivňován nativní simulací prostor v Unity.

V záložce `3D Sound Settings` najdeme parametry pro simulaci dopplerova efektu, simulovanou šířku zdroje zvuku a dále automatizaci větší částí výše popsaných parametrů v závislosti na vzdálenosti od posluchače. Křivka této závislosti je uživatelsky editovatelná [13].

2.3.5 Audio Listener

Componenta `AudioListener` a jí odpovídající datový typ `AudioListener` reprezentuje posluchače ve scéně. Nemá žádné vlastní parametry ale je bezpodmínečně nutné



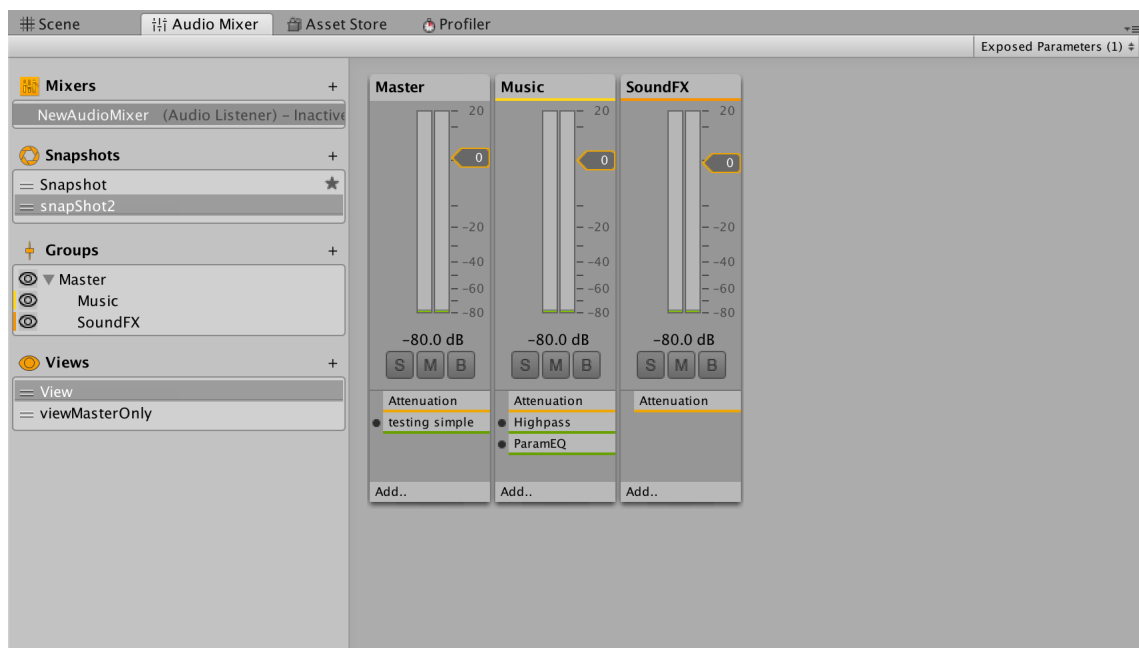
Obr. 2.4: Audio Source

ji ve scéně mít. Ve scéně musí být právě jedna instance této componenty. Defaultně je umístěna na hlavní kameře.

2.4 Audio Mixer

Pro obsah této práce je v rámci Editoru pro nás důležité ještě jedno okno, které nebylo zmíněno. Jedná se o okno Audio Mixer, viz obrázek 2.5. Toto okno nám umožňuje efektivní ovládání a routování zvuku v rámci editoru. V levé části vidíme jednotlivé instance a celkové nastavení daného Audio Mixeru.

V pravé části jsou jednotlivé AudioMixerGroup, které nápadně připomínají kanálové zobrazení typické pro mixážní pulty nebo DAW software. AudioMixerGroup již bylo v této práci zmíněno, jako parametr componenty Audio Source. Právě do



Obr. 2.5: Audio Mixer

těchto `AudioMixerGroup` můžeme směřovat signál z jednotlivých `Audio Source` pro následné zpracování.

V obrázku 2.5 tedy vidíme 3 instance `AudioMixerGroup`, zjednodušeně budou dále označovány jako *kanály*. Zleva to je *Master*, *Music* a *SoundFX*. V levé části spektra v záložce *Groups*, je k vidění jejich hierarchie. Tedy vidíme, že *Music* a *SoundFX* jsou podskupinami *Master*. V praxi to znamená že signál, který pošleme do *Music* dále poputuje o skupinu výš do *Master* [13].

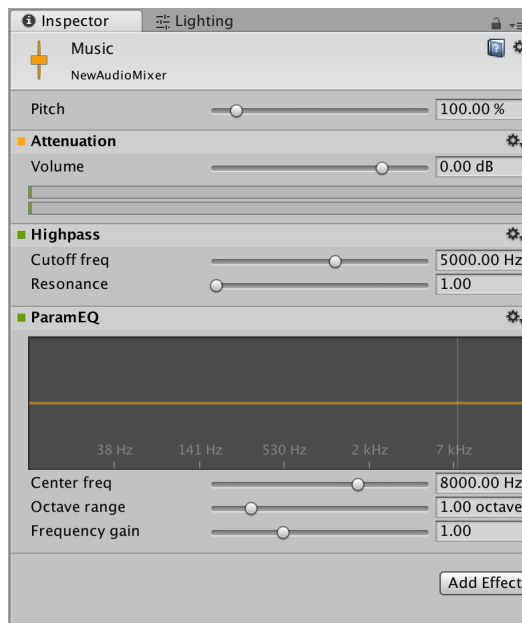
Každý kanál má své ovládací prvky. Hlavním je tedy tahový fader, ovlivňující hlasitost dané skupiny. Dále je to skupina tlačítek *Solo*, *Mute* a *Bypass*. Pod nimi se nachází prostor pro efekty. Unity má defaultně množství efektů, pro příklad *Lowpass*, *Compressor* atd. Pokud vybereme daný kanál, v okně *Inspector* se nám zobrazí nastavení efektů pro daný kanál, viz 2.6 [14].

2.5 Native Audio Plugin SDK

Native Audio Plugin SDK je vývojová sada poskytovaná Unity pro tvorbu zvukových zásuvných modulů. Zásuvný modul samotný se skládá z dvou částí.

První z nich je DSP zásuvný modul v jazyce C, případně C++, implementovaný jako `.dll` knihovna pro Windows nebo `.dylib` knihovna pro systém OSX.

Druhou částí je uživatelské rozhraní (GUI). Implementace GUI je pomocí jazyka C#, není však nutné. Unity ze zadaných parametrů v rámci DSP zásuvný mo



Obr. 2.6: Audio Mixer Group detail

automaticky generuje elementární GUI. Ukázky GUI efektů jsou například na obrázku 2.6. Detailněji toto bude rozvedeno dále. V rámci jedné .dll, případně .dylib knihovny je možné mít více zásuvných modulů.

Celé SDK je v podstatě pouze soubor `AudioPluginInterface.h`. V souborech SDK dále najdeme soubory `AudioPluginUtil.h` a `AudioPluginUtil.cpp`. Ty zde jsou pro jednodušší práci s parametry a podporu více zásuvných modulů v rámci jedné knihovny.

V rámci `AudioPluginUtil.h` je řada funkcí, nejdůležitější pro jsou však `InternalRegisterEffectDefition`, `CreateCallback` a `ProcessCallback`.

Funkce `InternalRegisterEffectDefition` slouží k inicializaci proměnných, které budou veřejné. Tedy ty, ke kterým Unity bude automaticky vytvářet GUI ovládací prvky. V příloze C.1 je jedna takováto funkce pro názornost. Funkce je z ukázkového zásuvného modulu `PluginNoise.cpp`, který je součástí SDK. U každého parametru, voláme funkci `RegisterParameter`, která bere jako argumenty název této proměnné zobrazovaný v editoru, odpovídající proměnnou ale také maximální, minimální a defaultní hodnotu.

Funkce `CreateCallback` slouží k inicializaci vnitřních parametrů a proměnných na začátku jeho fungování. Funkce `ProcessCallback` je nejdůležitější pro fungování celého zásuvného modulu. Pro příklad ji najdeme v příloze C.2. Funkce je zavolána vždy když se naplní vstupní buffer, tedy právě zde probíhá samotné zpracování signálu. Parametry této funkce je proměnná `UnityAudioEffectState• state`. Tato

třída v sobě obsahuje pro nás důležité informace jako je například vzorkovací frekvence. Dalšími parametry jsou dva pointery `float* inbuffer` a `float* outbuffer`. Inbuffer je buffer se všemi vstupními vzorky, outbuffer naopak výstupní buffer, který je potřeba naplnit. Jak vstupní tak výstupní buffer je ve formě jednorozměrného pole obsahující všechny vzorky pro všechny kanály za sebou. Tedy pokud bychom měli délku bufferu na kanál 1024 vzorků, ve vstupním i výstupním bufferu bude prvních 1024 vzorků pro pravý kanál a následovat bude dalších 1024 vzorků pro kanál levý.

Posledními parametry je `length` udávající počet vzorků pro kanál, `inchannels` určující počet vstupních kanálů a `outchannels` určující počet výstupních kanálů [25].

2.6 Audio Spatializer SDK

Audio Spatializer SDK nabízí nástroje pro tvorbu vlastní implementace auralizace (tedy panoramování a útlumu zdroje zvuku) v závislosti na vzájemné poloze hráče a posluchače. Zatímco zásuvné moduly vytvořené pomocí *Native Audio Plugin SDK* fungují v rámci kanálu AudioMixeru, implementace Spatializeru je nezávisle na každé componentě AudioSource. Výhodou Spatializeru je, že má defaultně informace o poloze zdroje a posluchače.

Audio Spatializer SDK vychází z Native Audio SDK, má však několik odlišností, které budou dále zmíněny. Abychom zdrojový soubor definovali jako Spatializer, je nutné toto v rámci funkce `InternalRegisterEffectDefinition` definovat voláním `definition.flags |= UnityAudioEffectDefinitionFlags_IsSpatializer;` Pro správné fungování je poté nutné vybrat námi zvolený Spatializer zásuvný modul v rámci nastavení Unity, záložka *Edit - Project settings - Audio*.

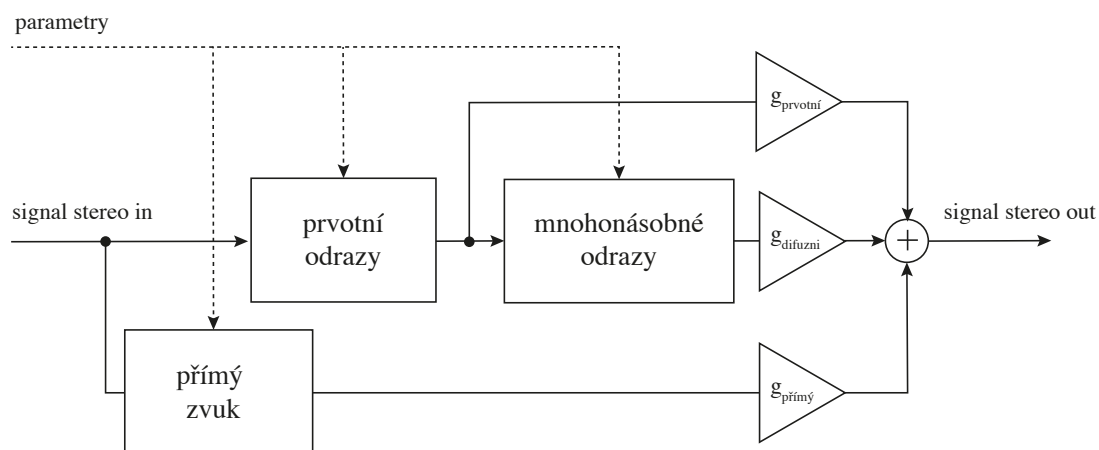
Jak již bylo zmíněno, Spatializer má informace o poloze zdroje a posluchače. Tyto informace jsou obsaženy ve struktuře `UnityAudioSpatializerData`. Pro nás nejdůležitější jsou proměnné `listenermatrix` a `sourcematix`, což jsou matice 4x4 určující vzájemnou polohu posluchače a zdroje zvuku.

Další funkce a parametry, jakými je například funkce `ProcessCallback` nebo `CreateCallback` jsou implementovány stejně jako v případě Native Audio Plugin SDK zmíněného výše v kapitole 2.5 [24].

3 Návrh

3.1 Přehled

Celkové blokové schéma zásuvného modulu je na obrázku 3.1

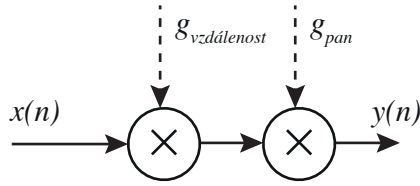


Obr. 3.1: Blokové schéma zásuvného modulu

Celá realizace se dá zjednodušit na 3 bloky. Blok simulující prvotní odrazy, blok simulující mnohonásobné (difúzní) odrazy a blok ovlivňující přímý zvuk. Dále budou tyto části rozebrány podrobněji.

3.1.1 Přímý zvuk

Pro přímý zvuk je realizace velmi jednoduchá. Vstupní signál je utlumen v závislosti na vzdálenosti od zdroje zvuku a dále je panorámován na základě úhlu který svírá posluchač se směrem, z kterého zvuk přichází. na obrázku 3.2 je znázorněna situace pro jeden z kanálů, tzn levý nebo pravý.



Obr. 3.2: Blokové schéma zpracování přímého zvuku

3.1.2 Prvotní odrazy

Realizace pro simulaci prvotních odrazů v podstatě odpovídá schématu na obrázku 1.11. Oproti tomuto schématu jsou však všechny parametry jednotlivých bloků variantní v čase a jsou pro každý odraz přidány další dva kmitočtové filtry, jeden high shelving a jeden low shelving. Lze měnit hodnoty zpoždění zpožďovacích linek, útlum jejich výstupů a mezní kmitočty filtrů. Také je možné v reálném čase měnit váhovací koeficienty pro panoramování daného odrazu. Zjednodušené schéma je na obrázku 3.3.

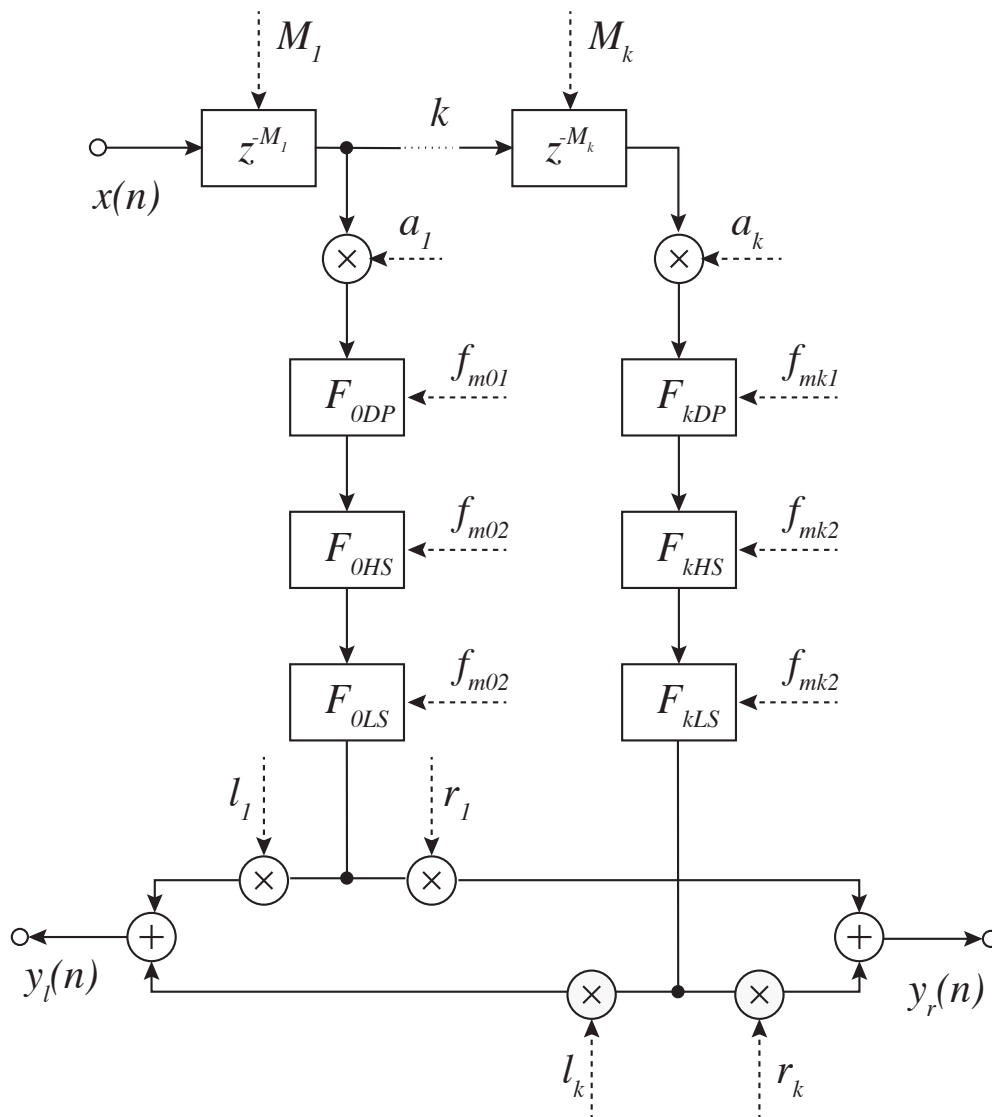
3.1.3 Mnohonásobné odrazy

Realizace systému pro simulaci mnohonásobných odrazů vychází z poznatku z kapitoly 1.7.4. Tento systém lze realizovat velkým množstvím zpožďovacích článků s narůstající dobou zpoždění, které jsou váhovány exponenciálně se snižující hodnotou zesílení. Schéma takového systému je na obrázku 3.4. S Pro parametry M_k a g_k platí:

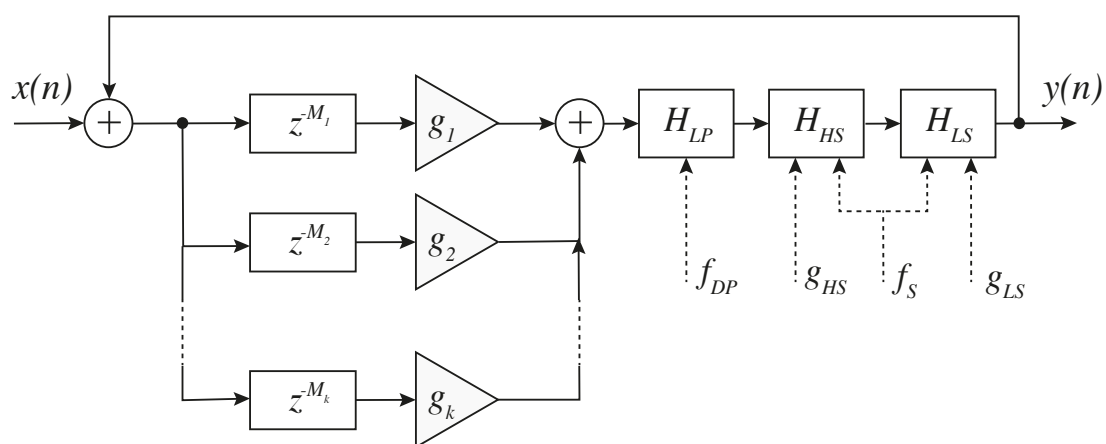
$$\begin{aligned} M_1 &< M_2 < M_3 < \dots < M_k , \\ g_1 &> g_2 > g_3 > \dots > g_k , \end{aligned} \tag{3.1}$$

kde M je doba zpoždění a g zesílení.

Dále jsou zde zařazeny kmitočtové filtry dolní propusti H_{DP} , high shelving H_{HS} a low shelving H_{LS} . Jejich parametry, tedy mezní kmitočty případně zesílení je možné měnit v čase.



Obr. 3.3: Návrh realizace systému simulující k prvotních odrazů



Obr. 3.4: Návrh realizace systému simulující mnohonásobné odrazy

4 Výsledky

V rámci diplomové práce byl vytvořen zásuvný modul pro herní engine Unity ve formě knihovny `.dylib` pro systém MacOS. Samotný soubor se jmenuje *AudioPluginNoise.bundle* a nachází se ve složce `Plugins` v rámci složky `Assets` Unity projektu. Složka `Plugins` je složka, z které Unity při zpuštění projektu načítá veškeré zásuvné moduly, ať už pro práci se zvukem nebo jiná rozšíření.

Samotný C++ projekt byl vytvořen v rámci vývojového prostředí Xcode. Projekt se nachází ve složce `NativeCode` ve složce Unity projektu. Dále bude podrobněji popsán zdrojový kód zásuvného modulu v jazyce C++.

4.1 C++ Zásuvný modul

Samotná implementace zásuvného modulu v jazyce C++ se skládá ze zdrojových souborů `Plugin_Reverb.cpp` a `Plugin_Spatializer.cpp`. `Plugin_Reverb.cpp` využívá Unity Native Audio SDK, popsané v kapitole 2.5 a `Plugin_Spatializer.cpp` využívá Unity Spatializer SDK popsané v kapitole 2.6.

Dále byly vytvořeny ovládací skripty fungující v prostředí enginu Unity, a to `ReverbVolume.cs` a `ReverbUnit.cs`, které na základě vstupu upravují parametry dozvuku.

V rámci zdrojového souboru byly vytvořeny třídy implementující kmitočtové filtry dolní propusti a high shelvingu filtru a kruhový buffer, jmenovitě to jsou třídy `LowPass`, `HighShelving` a `BasicBuffer`.

Dále byly v rámci zdrojového souboru vytvořeny implementace jednotlivých funkcí pro zpracování signálu, tedy funkce `InternalRegisterEffectDefinition`, `CreateCallback` a `ProcessCallback`.

4.1.1 Lowpass

Zdrojový kód třídy `Lowpass` je v příloze D.1. Třída implementuje dolní propust prvního řádu popsanou v kapitole 1.2.5.

Třída má dva konstruktory, jeden bezparametrický a jeden parametrický. Parametrický konstruktory volá konstruktory bezparametrický ale také nastavuje hodnoty vzorkovací frekvence a mezního kmitočtu filtru. Dále zde najdeme funkce pro nezávislé nastavení frekvence `SetFrequency` a vzorkovacího kmitočtu `SetSampleRate`. Poslední funkce `Iterate` má jako parametr vstupní vzorek, na kterém provádí filtraci a vrací zpracovaný vzorek.

4.1.2 HighShelving

Zdrojový kód třídy `HighShelving` je v příloze D.2. Třída implementuje high shelving filter prvního řádu popsáný v kapitole 1.2.5. Struktura je obdobná jako v případě LowPass filtru. Navíc jsou zde proměnné pro hodnotu útlumu, případně zesílení. Pro nastavení parametrů je zde pouze jedna funkce `SetParameters` nastavující hodnoty vzorkovací frekvence, mezního kmitočtu a hodnoty zesílení nebo útlumu.

4.1.3 BasicBuffer

Zdrojový kód třídy `BasicBuffer` je v příloze D.3. Třída implementuje funkcionalitu kruhového bufferu.

Parametrický konstruktorek `BasicBuffer` má parametry vzorkovací frekvence a délky bufferu. Dále implementuje funkci `GetValue` na získání vzorku se zpožděním o `delayInSamples` vzorků, funkce pro vložení dalšího vzorku `SetNextValue` a funkci pro iteraci bufferu `Iterate`, posunující čtecí a zapisovací ukazatele.

4.1.4 Plugin_Spatializer.cpp

Tento zdrojový soubor implementuje pozicování zvuku v rámci stereofonní báze a dále simuluje prvotní odrazy.

InternalRegisterEffectDefinition

Funkce sloužící pro definování veřejných proměnných, tedy proměnných ke kterým lze přistupovat pomocí funkcí `SetFloat`, viz 4.2.2. Těchto parametrů je více než padesát proto zde nebudou vypsány všechny, jejich seznam a zdrojový kód je k nahlédnutí v příloze E.1.

Najdeme zde parametry odpovídající jednotlivým prvotním odrazům jako je jejich zpoždění, úhel dopadu oproti úhlu přímého zvuku, útlum a nastavení jednotlivých kmitočtových filtrů. Dále zde najdeme parametry vnořených fázovacích článků simulujících mnohonásobné odrazy, celkový útlum, případně zesílení, prvotních odrazů a další.

CreateCallback

V této funkci probíhá prvotní nastavení hodnot. Jsou zde tedy vytvořeny buffery a také volána funkce `SetShelfs` nastavující kmitočtové filtry. Zdrojový kód je v příloze E.1.

ProcessCallback

V rámci funkce `ProcessCallback` je nejprve spočítán z maticí poloh posluchače a zdroje, viz kapitola 2.6 vypočítán vektor směřující od posluchače ke zdroji a z tohoto vektoru dále vypočítán úhel pod kterým zvuk přichází k posluchači. Dále jsou nastaveny hodnoty všech kmitočtových filtrů dle vstupních parametrů.

Následuje samotné zpracování prvotních odrazů ve vnořených cyklech `for`. Ze zásobníku jsou získány hodnoty odpovídající zpoždění jednotlivých odrazů, které jsou dále filtrovány a panorámovány. Celková hodnota prvotních odrazů poté slouží jako vstup bloku simulující vícenásobné odrazy pomocí vnořených fázovacích článků.

Samotný zdrojový kód je k nahlédnutí v příloze E.3.

4.1.5 Plugin_Reverb.cpp

Tento zdrojový soubor implementuje simulaci mnohonásobných odrazů v rámci zásuvného modulu.

InternalRegisterEffectDefinition

Tato funkce slouží pro deklaraci veřejných proměnných, které budou editovatelné v rámci editoru. Zdrojový kód je v příloze F.1. Jedná se o parametry:

- Delay Time, tedy doba dozvuku T_{60} popsaná v kapitole 1.6.1.
- Low Pass Frequency, mezní kmitočet dolní propusti.
- Crossover frequency, mezní kmitočet high a low shelving filteru
- Low shelf absorption, absorpce pro nízké kmitočty
- High shelf absorption, absorpce pro vysoké kmitočty

CreateCallback

Funkce `CreateCallback` je volána v momentě zpuštění Unity nebo momentu kdy je zásuvný modul přidán na daný kanál.

V rámci této funkce proběhne inicializace objektu typu `EffectData`, který dále drží veškerá data. Probíhá zde také inicializace bufferů. Zdrojový kód je v příloze F.2.

ProcessCallback

Funkce `ProcessCallback` byla už zmíněna v kapitole 2.5. v této funkci probíhá zpracování signálu v reálném čase. Parametry funkce jsou pointery `inbuffer` obsahující všechny vstupní vzorky a `outbuffer`, který obsahuje výstupní vzorky. Tento pointer ukazuje na jednorozměrné pole typu `float` kde jsou nejprve všechny vzorky

pro první kanál a za nimi všechny vzorky pro druhý kanál. Zdrojový kód je v příloze F.3.

Samotné zpracování signálu tedy probíhá ve vnořených cyklech `for` pro všechny vzorky vstupního bufferu. Využívá se zde poznatků z kapitoly 1.7.4 a návrhu popsaného v 3.1.3. Samotný algoritmus vychází z implementace základního reverbu využívaného v Unity, je však rozšířen o kmitočtové filtry.

V rámci cyklu `for` je nejprve pro každý kanál naplněno pole typu `Tap`, které obsahuje hodnoty zpoždění a útlumu každého zpožďovacího prvku. Hodnoty zpoždění jsou rostoucí, avšak rostoucí, jak bylo zmíněno v 3.1.3.

Dále následuje druhý cyklus `for`, iterující přes všechny prvky vstupního zásobníku, kde se v rámci cyklu `while` vrací hodnoty ze zpožďovacího zásobníku. Tyto hodnoty jsou sečteny, zpracovány kmitočtovými filtry. Společně se vstupním signálem jsou poté vloženy zpět do zpožďovacího zásobníku. Hodnotou samotnou je také plněn výstupní zásobník.

4.2 Unity skripty

Funkčnost celého systému a především nastavování parametrů v reálném čase v rámci enginu Unity zajišťují 2 skripty: `ReverbVolume.cs` a `ReverbUnit.cs`. Pro správné fungování simulace je bezpodmínečně nutné je nejen do projektu zařadit, ale také správně nastavit. Dále je k dispozici skript definující souborový typ `AcousticMaterial`, který bude popsán dále.

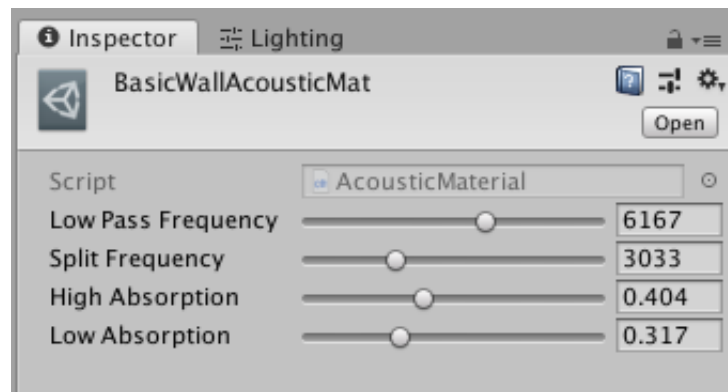
4.2.1 AcousticMaterial.cs

Skript `AcousticMaterial` dědí ze třídy `ScriptableObject`. `ScriptableObject` v rámci Unity fungují jako kontejnery na data. Není nutné je mít přiřazené objektu jako `componentu`, naopak je vytváříme mezi zdrojovými soubory, *assetsy*. Mají tedy pro nás stejnou funkci jako například zvukové soubory, textury atd.

Objekt `AcousticMaterial`, jak název napovídá určuje akustické vlastnosti materiálu. Uživatelsky jsou editovatelné následující parametry:

- *Low Pass Frequency*- frekvence dolní propusti v rozsahu 100 Hz až 10 000 Hz
- *Split Frequency* - mezní kmitočet mezi vysokými a nízkými frekvencemi, také mezní kmitočet shelving filtrů v rozsahu 100 Hz až 10 000 Hz
- *High Absorption* - absorpce materiálu na vysokých kmitočtech
- *Low Absorption* - absorpce materiálu na nízkých kmitočtech

V rámci projektu tedy můžeme vytvořit množství těchto materiálů pro různé povrchy s jinými vlastnostmi, například dřeva, betonu atd. Uživatelské rozhraní je vidět na obrázku 4.1.



Obr. 4.1: Uživatelské rozhraní skriptu Acoustic Material

4.2.2 ReverbVolume.cs

Skript `ReverbVolume.cs` určuje informace o velikosti akustického prostoru. Zde nastavujeme velikost poslechového prostoru pomocí parametru *Dimensions* typu `Vector3D`. Simulovaný prostor má tvar kvádru o stranách daných parametrem *Dimensions*. Velikost simulovaného prostoru není závislá na geometrii, která je vykreslována. Stejně tak není závislá na měřítku objektu k němuž je skript připojen. To je z důvodu větší volnosti při tvorbě prostředí. Prostor však je závislý na poloze a rotaci objektu.

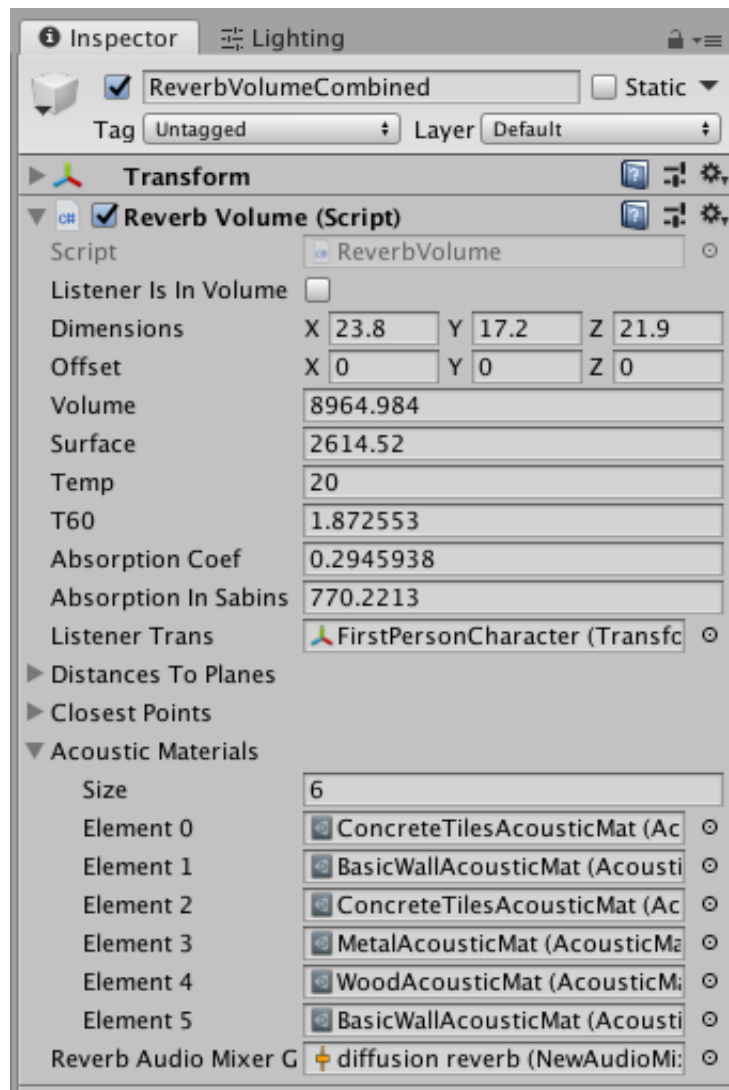
Dalším důležitým parametrem je pole objektů typu *Acoustic Material* o velikosti odpovídajícím počtu stěn, tedy 6. Pro každou stěnu tedy můžeme určit jiný akustický materiál.

Dále je zde nutné nastavit referenci na *Audio Mixer Group*, která má zařazen zásuvný modul reverbu, pro simulaci difúzního dozvuku.

Na základě zadaných parametrů tento skript počítá dobu dozvuku z objemu a pohltivosti jednotlivých materiálů, nastavení shelvingových filterů reverbu a dolních propustí a automaticky je nastavuje. Zároveň nese informaci zda se posluchač nachází v objemu nebo mimo něj. na základě toho se také parametry mění nebo ne.

Funkce `ReverbVolume.cs`

- `Awake()` je funkce volaná na začátku programu, avšak ještě před funkcí `Start`. Typicky slouží pro inicializaci veškerých proměnných a referenci, aby se ve funkci `Start()` mohla řešit herní logika. Pořadí volání této funkce napříč všemi skripty je náhodné [18]. v této funkci se vytváří nový statický `List` typu `ReverbVolume`, pokud ještě není inicializován. Pokud ano, je tento skript do tohoto dynamického pole přidán. Toto pole *reverbVolumes* tedy drží reference na všechny instance `ReverbVolume` v dané scéně.



Obr. 4.2: Uživatelské rozhraní ReverbVolume.cs

- `Start()` pouze určí referenci na objekt posluchače a volá funkci `ComputeAll()`
- `Update()` je funkce volaná každý vykreslovací snímek. Volá funkce `ComputeAll()` a `ComputeClosestPoint()`. Pokud se posluchač nachází v prostoru definovaném daným skriptem, volá se funkce `SetDiffusionParameters` nastavující parametry difúzního dozvuku.
- `ComputeAll()` pouze volá funkce počítající hlavní a doplňkové parametry. Také volá funkci `isInVolume`, jejíž návratovou hodnotu ukládá v proměnné typu `bool listenerIsInVolume`, určující zda je posluchač v daném prostoru.
- `ComputeVertices()` funkce která na základě polohy a rotace, definované `Transform` componentou a dále parametru `Dimensions` vypočte jednotlivé vrcholy stěn geometrie.

- `ComputeParameters()` vypočítává parametry objemu, plochy, času dozvuku, absorpčního koeficientu a absorpce v sabinech (*Volume, Surface, T60, AbsorptionInSabins*). Absorpce v sabinech se počítá dle kapitoly 1.3.1. Pomocí ní a hodnoty objemu místnosti můžeme vypočítat dobu dozvuku pomocí vzorce 1.15 zmíněného v kapitole 1.6.1
- `ComputePlanes()` slouží pro výpočet rovin, reprezentovaných datovým typem `Plane`. Roviny jsou definovány pomocí tří vrcholů pro každou stěnu prostoru a uloženy do pole *planes*
- `ComputeClosestPoint()` pomocí objektů rovin zmíněných výše počítá nejbližší body k posluchači na těchto rovinách a ukládá je do pole *closestPoints*.
- `GetDistancesToBounds()` má návratový typ `float[]`, tedy pole čísel typu `float`. v tomto poli jsou uloženy vzdálenosti posluchače od rovin *planes*.
- `GetClosestPointsToBounds()` má návratový typ `Vector3[]`, tedy pole tří-rozměrných vektorů. Vrací kopii pole *closestPoints*.
- `isInVolume()` vrací hodnotu typu `bool`, tedy `true` pokud se posluchač nachází uvnitř prostoru nebo `false` pokud se posluchač nachází mimo prostor.
- `GetAcousticMaterials()` vrací referenci na pole akustických materiálů popsaných v kapitole 4.2.1.
- `SetDiffusionParameters()` nastavuje parametry difuzního dozvuku. Pro správné fungování je potřeba mít nastavenou referenci na *Audio Mixer Group*, reprezentovaná proměnou *mix*. Volá se zde funkce `mix.SetFloat(string name, float value)`, kde *name* je název parametru nastavený v rámci *Mixeru* a *value* je hodnota, kterou tomuto parametru přiřazujeme. Nastavuje se zde absorpce na nízkých a vysokých kmitočtech a mezní kmitočet mezi vysokými a nízkými frekvencemi, čas dozvuku *T60* a frekvence dolní propusti.

4.2.3 ReverbUnit.cs

Skript `ReverbUnit` slouží k nastavování parametrů `Spatializer` zásuvného modulu, componenty `AudioSource`. To znamená že vždy když chceme použít na zdroji zvuku rozšíření pro simulaci prvotních odrazů, je nutné zatrhnout argument *Spatialize* na samotné componentě, a poté na objekt přidat skript `ReverbUnit`, který parametry tohoto zásuvného modulu nastavuje.

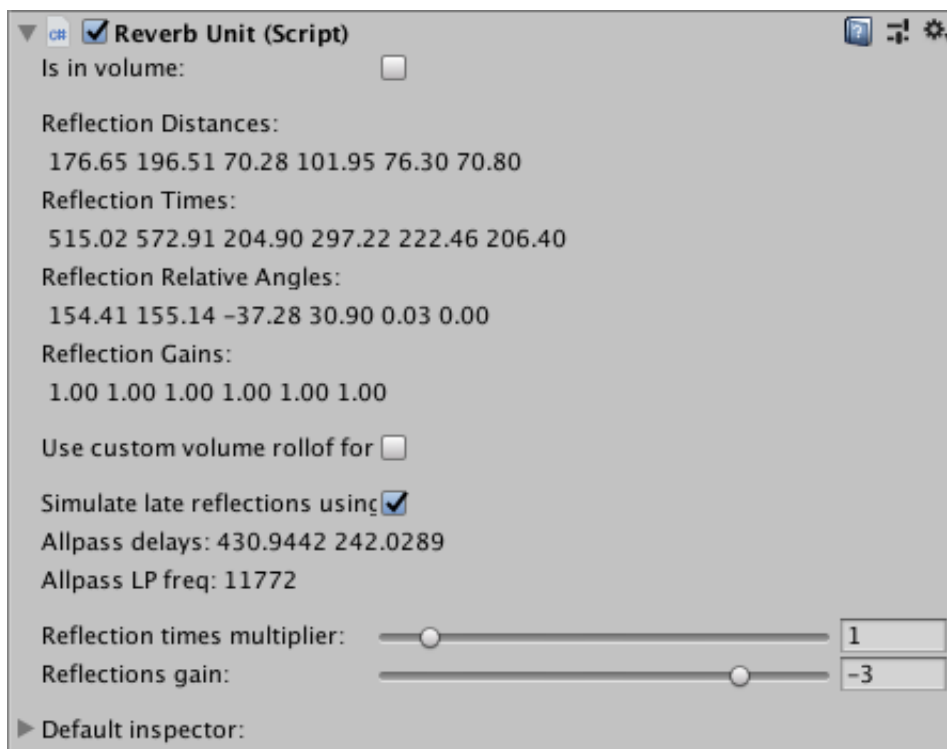
Skript počítá dráhy, respektive doby jednotlivých odrazů. Také počítá relativní zeslabení jednotlivých odrazů daných útlumem. Vstup zvukového signálu do *Spatializer* zásuvného modulu je již zeslaben na základě útlumové křivky určené componentou `AudioSource`. Je tedy nutné počítat při útlumu odrazů s tím, že pracujeme s již zeslabeným signálem. Avšak útlum signálu odrazu v závislosti na vzdálenosti je dán také touto křivkou

Pomocí parametru *Use custom volume rolloff for reflections* je možné určit jinou křivku zeslabení v závislosti na vzdálenosti. v takovém případě se zobrazí okno s grafem, kde průběh můžeme pomocí křivek nakreslit.

Následují další parametry a to *Simulate late reflections using allpass filter*, pomocí něž můžeme zapínat nebo vypínat zahušťování prvotních odrazů pomocí vnořených fázovacích článků.

Parametrem *Reflections times multiplier* pouze násobí časy vypočítaných prvotních odrazů. Parametr sloužil primárně pro testování, ale v některých případech se dá kreativně využít pro vytvoření dojmu většího, případně menšího poslechového prostoru. Z tohoto důvodu byl na componentě ponechán i ve finální verzi.

Posledním editovatelným parametrem je *Reflections Gain*, tedy parametr určující útlum nebo zesílení samotných odrazů oproti čistému zdrojovému signálu.



Obr. 4.3: Uživatelské rozhraní reverbUnit.cs

Funkce ReverbUnit.cs

Dále budou popsány jednotlivé funkce obsažené v skriptu `ReverbUnit.cs`

- `Start()` je funkce volaná při zpuštění programu, nebo při vzniku samotného skriptu, pokud by byl vytvořen dynamicky během běhu programu. V ní skript volá funkci `CheckForVolume()`, nastavující odpovídající `AudioSource`

a také nastaví hodnoty pomocných proměnných. Dále je zde zpuštěn koprogram `InterpolateGainAndOcclusion()`.

- `Update()` je funkce volaná každý vykreslovací snímek. v rámci této funkce se počítá vzdálenost mezi odpovídajícím zdrojem zvuku a posluchačem, dále je volána funkce `ComputeAll()` a `SetSpatializerParameters()`.
- `CheckForVolume()` je volána na začátku skriptu. Slouží k tomu aby si skript `ReverbUnit` zjistil v kterém prostoru definovaném skriptem `ReverbVolume` se nachází a přiřadil si na něj referenci.
- `OnDrawGizmos()` vykresluje v okně *Scene* Unity editoru dráhy jednotlivých odrazů. Tato funkce je pouze pro názornost a testování a není nezbytně nutná.
- `ComputeAll()` pokud má skript referenci na odpovídající skript `ReverbVolume` a komponentu `AudioSource` tak tato funkce volá další funkce počítající nezbytné parametry a to jak v rámci tohoto skriptu tak funkce odpovídajícího `ReverbVolume` skriptu. Nastavují se zde hodnoty `closestPoints`, což je pole nejbližších bodů na stěnách a `closestDistances`, pole vzdáleností k těmto bodům.
- `ComputeMidpoints()` funkce hledá body, v kterých dochází k odrazu. Využívá se zde zákonu odrazu viz kapitola 1.3.1. v proměnné `closestPoints` již máme pole nejbližších bodů na geometrii pro zdroj zvuku, obdobně můžeme získat tyto body i pro posluchače, skript `ReverbVolume` má toto pole jako veřejnou proměnnou. Poměr vzdáleností od zdroje (nebo posluchače) k těmto bodům poté odpovídá poměrům, na které můžeme rozdělit úsečku spojující tyto dva body. v tomto bodě potom je místo odrazu. Místo odrazu se takto počítá pro každou stěnu a je uloženo v poli typu `Vector3` nazvaném *midPoints*.
- `ComputeReflectionDistances()` počítá vzdálenost a zpoždění odrazů v milisekundách. Vzdálenost se spočte jednoduše jako velikost vektoru daného pozicí zdroje zvuku a místa odrazu a posluchače a místa odrazu. Zpoždění odrazů je potom $t = \frac{s}{c} * 1000.$, kde s je vzdálenost a c rychlost zvuku.
- `ComputeAngles()` počítá relativní úhel dopadu odrazu. Jedná se o úhel v horizontální rovině který svírá vektor daný pozicí posluchače a zdroje zvuku a místa odrazu a posluchače.
- `ComputeReflectionGains()` je funkce, která počítá útlum jednotlivých odrazů na základě jejich dráhy. Problémem je, že v rámci Unity můžeme nastavit libovolné křivky útlumu zvuku na základě vzdálenosti. a často se tohoto využívá pro větší kontrolu nad zvukovým prostředím. Proto je i útlum odrazů počítán za pomoci těchto křivek. Dalším problémem je, že zvukový signál, s kterým v rámci zásuvného modulu pracujeme, už je touto křivkou ztlumen. Pracujeme tedy již se ztlumeným signálem, a pokud bychom odrazy, které z toho signálu počítáme ztlumili hodnotou odpovídající vzdálenosti na křivce,

dostali bychom se na téměř nulové hodnoty. Musíme tedy počítat s rozdílovou vzdáleností, tedy odečíst od útlumu vypočítaného na křivce hodnotu útlumu, který již byl aplikován na zdrojový signál.

- `ComputeAllpassParameters()` počítá zpoždění vnořených fázovacích článků pro simulaci vícenásobných odrazů. Zpoždění jsou vypočítány jako průměr lichých a sudých prvků pole obsahujících zpoždění jednotlivých odrazů.
- `InterpolateGainAndOcclusion()` je funkce datového typu `IEnumerator`, a v rámci Unity se tedy jedná o koprogram (anglicky *coroutine*). Tyto speciální funkce umožňují zastavit běh funkce na daný časový okamžik [18], v případě této implementace příkazem `"yield return new WaitForSeconds(Time.fixedDeltaTime)"` zastavíme běh funkce na dobu definovanou fyzikálním engine Unity. v případě ukázkového projektu je to 20 ms. Tato funkce slouží k pozvolné změně celkového útlumu a také frekvence dolní propusti simulující akustický stín, pokud se posluchač nachází mimo prostor definovaný `ReverbVolume` skriptem.
- `SetSpatializerParameters()` nastavuje veškeré vypočítané parametry samotnému zásuvnému modulu `Plugin_Spatializer`. K tomu slouží funkce objektu typu `AudioSource SetSpatializerFloat(int id, float value)`. Parametry tedy nastavujeme pomocí daného `id` a hodnoty. Pro jednodušší práci s parametry je v rámci skriptu definovaný výčtový typ (*enum*) `spatializerParams`, který kopíruje odpovídající výčtový typ *enum* v samotném zásuvném modulu. Je možné hodnoty toho výčtového typu přetypovat na hodnotu typu `int` a tu poté použít jako parametr.

S některými hodnotami se zde provádí další operace, například hodnoty zpoždění fázovacích článků jsou převedeny z milisekund na vzorky a poté zaokrouhleny na nejbližší prvočísla funkcí `GetClosestPrime()`.

4.2.4 samplePicker.cs

Skript `samplePicker.cs` není nezbytně nutný pro fungování simulace poslechového prostoru. Slouží pouze pro testování celého systému. v ukázkové scéně jej najdeme na objektu `master`. Jeho veřejnými proměnnými jsou dvě pole. První je pole `component AudioSource` (v ukázkové scéně jsou zde všechny zdroje zvuku ve scéně) a druhé je pole typu `AudioClip`. Do tohoto pole můžeme umístit požadované testovací zvukové vzorky.

Při zpuštění scény můžeme klávesami 0 až 9 přepínat mezi jednotlivými vzorky. Klávesy odpovídají vzorkům v poli, tedy nula odpovídá prvnímu (nultému) vzorku, devítka odpovídá poslednímu vzorku v poli.

Pomocí mezerníku (klávesy `space`) je také možné znovu restartovat přehrávání

všech zdrojů zvuku.

Klávesou *L* je možné přepínat zda se mají vzorky přehrávat ve smyčce.

4.2.5 Nastavení Audio Mixer Group

Pro správné fungování reverbu je nutné v mixeru používaném pro přehrávání aktuální banky zvuku vytvořit *Audio Mixer Group*, která bude obsahovat zásuvný modul reverbu. Dále pochopitelně přidat na tuto group *receive* a odpovídající *send* componenty na ostatní kanály.

Na samotném reverbu je nutné nastavit všechny parametry jako *exposed*, pravým kliknutím na všechny parametry. Dále je nutné v okně mixeru nastavit názvy těchto parametrů následovně:

- Delay Time -> "DelayTime"
- Diffusion -> "Diffusion"
- Low pass freq -> "LowFreq"
- Crossover freq -> "CrossFreq"
- Low shelf absorp -> "LowAbs"
- High shelf absorption -> "HighAbs"

Tyto úkony je nutno provést manuálně, z toho důvodu, že Unity neumožňuje vytváření routingu a zařazování nových zásuvných modulů na kanály pomocí kódu za běhu programu.

4.3 Unity projekt

Ukázkový projekt se nachází mezi soubory přiloženými k této práci. Nejdůležitější jsou složky *Assets* a *NativeCode*.

Složka *Assets* obsahuje veškeré soubory pro samotnou ukázkovou scénu. V podsložce *Plugins* najdeme samotné zásuvné moduly pro simulaci poslechových prostor. Jedná se o soubor *AudioPluginNoise.bundle*. V podsložce *Scripts* se nachází všechny výše zmíněné skripty v jazyce C#. Dále zde najdeme testovací zvukové soubory ve složce *Samples*. Samotná scéna je přímo v kořenové složce a jde o soubor *testScene.unity*.

Ve složce *NativeCode* se nachází projekt vývojového prostředí Xcode, v němž najdeme zdrojové soubory *Plugin_Reverb.cpp* a *Plugin_Spatializer.cpp*.

Scénu lze ve vývojovém prostředí zpustit. V ukázkové scéně je poté možno se pohybovat pomocí šipek případně kláves WASD. Klávesami 1-6 je možno přepínat mezi jednotlivými testovacími zvukovými vzorky. Klávesou *L* lze přepínat zda se vzorky přehrávají ve smyčce nebo pouze jednou.

5 Závěr

V rámci této práce byla rozebrána problematika reverberátorů jako systémů pro simulaci poslechových prostor a jejich implementace v rámci herního enginu Unity.

V první kapitole byly popsány základní přístupy pro simulaci poslechových prostor, byly představeny základní stavební prvky, které se používají při číslicovém zpracování signálu a dále byly nastíněny struktury pro simulaci prvotních a mnoho-násobných odrazů.

Druhá kapitola se věnovala hernímu enginu Unity. Krátce byl definován herní engine a popsána jeho historie. Dále bylo popsáno rozhraní a důležité pojmy pro práci v tomto vývojovém prostředí. V poslední části této kapitoly byla podrobněji popsána práce se zvukovým signálem v rámci enginu a také sada vývojových nástrojů (SDK) pro tvorbu vlastních DSP zásuvných modulů.

V třetí kapitole byl podrobněji popsán návrh samotného zásuvného modulu v blokových schématech, vycházející z poznatků v první kapitole.

Ve čtvrté kapitole je shrnuta dosavadní práce. Je zde popsáno fungování samotných zásuvných modulů v jazyce C++ a podrobněji popsány jednotlivé funkce, postupy a použité parametry. Dále jsou v této kapitole popsány skripty v jazyce C#, zajišťující změny parametrů zásuvných modulů v reálném čase. Jsou zde popsány jednotlivé uživatelsky editovatelné parametry, významy jednotlivých funkcí a celková provázanost mezi skripty. V poslední části kapitoly je blíže popsán ukázkový projekt vytvořený v herním enginu Unity, jeho obsah a fungování.

Samotný zásuvný modul je schopen simulovat poslechové prostory na základě rozměrů definovaných uživatelem. Je schopen simulovat prostory různých velikostí, které jsou od sebe vzájemně rozeznatelné. Nedosahuje však zvukových kvalit, na které jsme zvyklí ze současných komerčně dostupných reverberátorů. Také při rychlém pohybu posluchače může docházet k slyšitelným zvukovým artefaktům. Systém, který byl vytvořen, se snaží simulovat prvotní odrazy co nejpřesněji, vzhledem k tomu, že je ale počítá ze zjednodušené geometrie, neposkytuje výsledný zvukový signál příliš výhod oproti klasickým vjemovým reverberátorům. Samotná implementace je náročná na výpočetní výkon a vyžadovala by více optimalizace.

Výhodou tohoto zásuvného modulu je jeho jednoduchost pro samotné nastavení v rámci Unity. Uživateli pouze stačí definovat velikost rozměrů a vlastnosti materiálů a samotné parametry jsou poté vypočítány a nastaveny samy. Nevýhodou je menší jedinečnost samotného zvukového vjemu, oproti například současným konvolučním reverberátorům, které jsou schopné pracovat v reálném čase. Zde je však nevýhodou nutnost hledání impulsových odezev odpovídajících virtuálnímu prostoru, případně jejich měření.

Literatura

- [1] ALLEN, Jont B. a David A. BERKLEY. *Image method for efficiently simulating small-room acoustics*. Bell Laboratories, Murray Hill, New Jersey, 1978. Acoustics Research Department, 9.
- [2] BALÍK, Miroslav. *Číslicové zpracování akustických signálů* Fakulta elektrotechniky a komunikačních technologií, 2014. Vysoké učení technické v Brně.
- [3] COX, Trevor J.; Peter D'ANTONIO. *Acoustic absorbers and diffusers: theory, design and application*. 2nd ed. New York: Taylor & Francis, c2009. ISBN 0-203-89305-0, 495.
- [4] *DAFX: digital audio effects*. 2nd ed. Chichester, West Sussex, England: Wiley, 2011. ISBN 978-0-470-66599-2, 614.
- [5] DATTORRO, Jon. *Effect Design: Reverberator and Other Filters*. Audio Engineering Society Journal Vol. 45, No 9. Stanford, 1997, 26.
- [6] EVEREST, F. Alton. *The master handbook of acoustics*. 4th ed. New York: McGraw-Hill, c2001. ISBN 0-07-139974-7. 641.
- [7] HAAS, John. *A History of the Unity Game Engine*. Worcester, 2012. Dostupné také z: https://web.wpi.edu/Pubs/E-project/Available/E-project-030614-143124/unrestricted/Haas_IQP_Final.pdf
- [8] HOCKING, Joseph. *Unity in action: multiplatform game development in C#*. Shelter Island, NY Manning Publications Co., [2015]. ISBN 978-1617292323.
- [9] JOT, Jean-Marc, WALSH M.;PHILP A. *Binaural Simulation of Complex Acoustic Scenes for Interactive Audio*. AES 121st Convention. 2006
- [10] JOT, Jean-Marc. *Digital Delay Networks for Designing Artificial Reverberators*. 90th AES convention. 1991.
- [11] KARJALAINEN Matti; JÄRVALÄINEN Hanna . *Reverberation Modeling Using Velvet Noise* AES 30th International Conference. 2007
- [12] Jeon, KWANG MYUNG, Kim, HONG KOOK. *Approximation of a Virtual Reverberation Filter For Handheld Devices*, 2011
- [13] LANHAM, Micheal. *Game Audio Development with Unity 5.X*. UK: Packt Publishing, 2017. ISBN 978-1-78728-645-0

- [14] LAVIERI, Edward. *Getting Started with Unity 2018*. Third Edition. Birmingham: Packt Publishing, 2018. ISBN 978-1-78883-010-2.
- [15] LINOWES, Jonathan. *Unity Virtual Reality Projects*. Second Edition. Birmingham: Packt Publishing, 2018. ISBN ISBN 978-1-78847-880-9.
- [16] MARK KAHR, KARLHEINZ BRANDENBURG, *Applications of Digital Signal Processing to Audio and Acoustics*, 2002, ISBN: 0-3064-7042-X
- [17] MOORER, James A. *About This Reverberation Business*. Computer Music Journal, Vol. 3, No. 2. The MIT Press, 1979
- [18] OKITA, Alex. *Learning C# programming with Unity 3D*. Boca Raton: CRC Press, [2015]. ISBN 978-1466586529.
- [19] OLIVEIRA, A.; CAMPOS G.; DIAS P., MURPHY D.; VIEIRA J.; MENDONÇA C.; SANTOS J. *Real-Time Dynamic Image-Source Implementation For Auralisation*. Conference on Digital Audio Effects (DAFx-13). 2013.
- [20] RUBAK P.; JOHANSEN L., *Artificial reverberation based on a pseudo-random impulse response II*, AES 106th Convention, (Munich), 1999.
- [21] SCHROEDER, Manfred *Natural Sounding Artificial Reverberation*. Audio Engineering Society Journal. 1962.
- [22] SMITH, Julius O. *Physical Audio Signal Processing: for Virtual Musical Instruments and Digital Audio Effects*. Lexington: W3K Publishing, 2010. ISBN 0974560723.
- [23] *The technology of binaural listening*. New York: Springer, 2013. ISBN 978-3-642-37761-7.
- [24] *Audio Spatializer SDK [online]*. Unity Technologies, 2018. Dostupné také z: <https://docs.unity3d.com/Manual/AudioSpatializerSDK.html>
- [25] *Native Audio Plugin SDK [online]*. Unity Technologies, 2018. Dostupné z: <https://docs.unity3d.com/Manual/AudioMixerNativeAudioPlugin.html>
- [26] *Unity Audio Documentation [online]*. Unity Technologies, 2018. Dostupné z: <https://docs.unity3d.com/Manual/Audio.html>
- [27] *Unity Scripting Reference [online]*. Unity Technologies, 2019 [cit. 2019-05-01]. Dostupné z: <https://docs.unity3d.com/ScriptReference/>

Seznam příloh

A	Obsah přiloženého CD	61
B	Návod na zprovoznění zásuvných modulů	62
C	Native Audio SDK	63
D	Pomocné třídy a funkce	65
E	Plugin_Spatializer.cpp	69
F	Plugin_Reverb.cpp	75

A Obsah přiloženého CD

Na přiloženém CD se v kořenové složce nachází následující soubory:

- *UkazkaScena.mp4* je video ilustrující fungování simulace poslechových prostor v ukázkové scéně. V tomto videu hráč projde několika místnostmi s různými materiály zdi a různými objemy. Jsou zde slyšitelné změny mezi jednotlivými prostory a panorámování zdroje zvuku v závislosti na poloze zdroje zvuku.
- *UkazkaEditor.mp4* je video ukazující základní nastavení uživatelských skriptů `ReverbVolume.cs` a `ReverbUnit.cs`. Dále je zde ukázáno nastavení reference na hlavní `AudioMixer` a vzájemnou referenci mezi `ReverbVolume.cs` a `ReverbUnit.cs`.
- složka *build* obsahuje hratelnou ukázkovou scénu jako zpustitelný soubor typu `.app` pro systém MacOS.
- složka *diplProj* obsahuje veškeré zdrojové soubory. Obsahuje více podsložek z nichž nejdůležitější jsou:
 - složka *Assets* obsahující veškeré zdrojové soubory pro Unity projekt.
 - složka *NativeCode* obsahující projekt ve vývojovém prostředí XCode
- *DiplomovaPraceDominikKonecny.pdf* je elektronickou verzí této práce ve formátu PDF

B Návod na zprovoznění zásuvných modulů

1. V kořenové složce *Assets* musí být vytvořena složka s názvem *Plugins* do ní bude umístěn soubor *AudioPluginNoise.bundle* obsahující samotné C++ zásuvné moduly. Unity tyto moduly načítá při startu, proto bude pravděpodobně nutné Unity restartovat.
2. Dále do složky *Assets* umístíme skripty *ReverbVolume.cs* a *ReverbUnit.cs*
3. Ve složce *Assets* dále vytvoříme soubor typu *Audio Mixer*. Vybereme jej a přepneme se do okna *Audio Mixer*. Zde vytvoříme novou *Group* a tlačítkem *Add..* přidáme efekt typu *Reverb*. Dále je potřeba všechny jeho parametry nastavit jako *Expose* pravým kliknutím na název parametru v okně *Inspector*. Tyto parametry je poté nutno přejmenovat následovně:
 - Delay Time -> "DelayTime"
 - Diffusion -> "Diffusion"
 - Low pass freq -> "LowFreq"
 - Crossover freq -> "CrossFreq"
 - Low shelf absorp -> "LowAbs"
 - High shelf absorption -> "HighAbs"
4. Dále opět ve složce *Assets* vytvoříme nový objekt typu *Acoustic Material* a v okně *Inspector* mu nastavíme parametry.
5. Ve scéně vytvoříme prázdný *GameObject*, vybereme jej a v okně *Inspector* klikneme na tlačítko *Add Component*. Ze seznamu vybereme položku *ReverbVolume*
6. Posledním parametrem je pole materiálů, námi vytvořený materiál tedy přetáhneme ze složky *Assets* do prvního prvku tohoto pole.
7. Vytvoříme nový *GameObject*, přidáme mu componenty typu *Audio Source* a *ReverbUnit*. Objektu *AudioSource* nastavíme zdrojový soubor a další požadované parametry. Je nutné zatrhnout pole *Spatialize*.
8. Na componentě *ReverbUnit* přesuneme objekt se skriptem *ReverbVolume* do prázdného pole *Reverb Volume Script*. Tím vytvoříme vzájemnou referenci.

C Native Audio SDK

Výpis C.1: Inicializace přístupných proměnných v Unity Native Audio pluginu

```
1
2
3
4
5
6
7
8
9
10
11
12
13
14
15
16
17
18
19
20
21
22
23
24
25
26
27
28
29
30
31
32
33
34
35
36
37
38
39
40
41
42
43
44
45
46
47
48
49
50
51
52
53
54
55
56
57
58
59
60
61
62
63
64
65
66
67
68
69
70
71
72
73
74
75
76
77
78
79
80
81
82
83
84
85
86
87
88
89
90
91
92
93
94
95
96
97
98
99
100
101
102
103
104
105
106
107
108
109
110
111
112
113
114
115
116
117
118
119
120
121
122
123
124
125
126
127
128
129
130
131
132
133
134
135
136
137
138
139
140
141
142
143
144
145
146
147
148
149
150
151
152
153
154
155
156
157
158
159
160
161
162
163
164
165
166
167
168
169
170
171
172
173
174
175
176
177
178
179
180
181
182
183
184
185
186
187
188
189
190
191
192
193
194
195
196
197
198
199
200
201
202
203
204
205
206
207
208
209
210
211
212
213
214
215
216
217
218
219
220
221
222
223
224
225
226
227
228
229
230
231
232
233
234
235
236
237
238
239
240
241
242
243
244
245
246
247
248
249
250
251
252
253
254
255
256
257
258
259
260
261
262
263
264
265
266
267
268
269
270
271
272
273
274
275
276
277
278
279
280
281
282
283
284
285
286
287
288
289
290
291
292
293
294
295
296
297
298
299
300
301
302
303
304
305
306
307
308
309
310
311
312
313
314
315
316
317
318
319
320
321
322
323
324
325
326
327
328
329
330
331
332
333
334
335
336
337
338
339
340
341
342
343
344
345
346
347
348
349
350
351
352
353
354
355
356
357
358
359
360
361
362
363
364
365
366
367
368
369
370
371
372
373
374
375
376
377
378
379
380
381
382
383
384
385
386
387
388
389
390
391
392
393
394
395
396
397
398
399
400
401
402
403
404
405
406
407
408
409
410
411
412
413
414
415
416
417
418
419
420
421
422
423
424
425
426
427
428
429
430
431
432
433
434
435
436
437
438
439
440
441
442
443
444
445
446
447
448
449
450
451
452
453
454
455
456
457
458
459
460
461
462
463
464
465
466
467
468
469
470
471
472
473
474
475
476
477
478
479
480
481
482
483
484
485
486
487
488
489
490
491
492
493
494
495
496
497
498
499
500
501
502
503
504
505
506
507
508
509
510
511
512
513
514
515
516
517
518
519
520
521
522
523
524
525
526
527
528
529
530
531
532
533
534
535
536
537
538
539
540
541
542
543
544
545
546
547
548
549
550
551
552
553
554
555
556
557
558
559
560
561
562
563
564
565
566
567
568
569
570
571
572
573
574
575
576
577
578
579
580
581
582
583
584
585
586
587
588
589
590
591
592
593
594
595
596
597
598
599
600
601
602
603
604
605
606
607
608
609
610
611
612
613
614
615
616
617
618
619
620
621
622
623
624
625
626
627
628
629
630
631
632
633
634
635
636
637
638
639
640
641
642
643
644
645
646
647
648
649
650
651
652
653
654
655
656
657
658
659
660
661
662
663
664
665
666
667
668
669
670
671
672
673
674
675
676
677
678
679
680
681
682
683
684
685
686
687
688
689
690
691
692
693
694
695
696
697
698
699
700
701
702
703
704
705
706
707
708
709
710
711
712
713
714
715
716
717
718
719
720
721
722
723
724
725
726
727
728
729
730
731
732
733
734
735
736
737
738
739
740
741
742
743
744
745
746
747
748
749
750
751
752
753
754
755
756
757
758
759
760
761
762
763
764
765
766
767
768
769
770
771
772
773
774
775
776
777
778
779
780
781
782
783
784
785
786
787
788
789
790
791
792
793
794
795
796
797
798
799
800
801
802
803
804
805
806
807
808
809
810
811
812
813
814
815
816
817
818
819
820
821
822
823
824
825
826
827
828
829
830
831
832
833
834
835
836
837
838
839
840
841
842
843
844
845
846
847
848
849
850
851
852
853
854
855
856
857
858
859
860
861
862
863
864
865
866
867
868
869
870
871
872
873
874
875
876
877
878
879
880
881
882
883
884
885
886
887
888
889
890
891
892
893
894
895
896
897
898
899
900
901
902
903
904
905
906
907
908
909
910
911
912
913
914
915
916
917
918
919
920
921
922
923
924
925
926
927
928
929
930
931
932
933
934
935
936
937
938
939
940
941
942
943
944
945
946
947
948
949
950
951
952
953
954
955
956
957
958
959
960
961
962
963
964
965
966
967
968
969
970
971
972
973
974
975
976
977
978
979
980
981
982
983
984
985
986
987
988
989
990
991
992
993
994
995
996
997
998
999
1000
```


Výpis C.2: Inicializace přístupných proměnných v Unity Native Audio pluginu

```

UNITY_AUDIODSP_RESULT UNITY_AUDIODSP_CALLBACK
ProcessCallback(
    UnityAudioEffectState* state,
    float* inbuffer, float* outbuffer,
    unsigned int length,
    int inchannels, int outchannels)
{
    // Grab the EffectData struct we
    // created in CreateCallback()
    EffectData *data = state->GetEffectData<EffectData>();

    // a gain multiplier to silence
    the plugin when not in play mode or muted
    float wetTarget = ((state->flags &
    UnityAudioEffectStateFlags_IsPlaying) &&
    !(state->flags & (UnityAudioEffectStateFlags_IsMuted
    | UnityAudioEffectStateFlags_IsPaused))) ? 1.0f : 0.0f;

    // For each sample going to the output buffer
    for(unsigned int n = 0; n < length; n++)
    {
        // For each channel of the buffer
        for(int i = 0; i < outchannels; i++)
        {
            // Generate a random float in the range
            [-1.0, 1.0] (fixed-point arithmetic)
            int rInt = rand() % 20000;
            rInt -= 10000;
            float r = rInt / 10000.0f;

            // Write the sample to the buffer
            outbuffer[n * outchannels + i] = r *
            wetTarget * data->p[P_GAIN];
        }
    }

    return UNITY_AUDIODSP_OK;
}

```

D Pomocné třídy a funkce

Výpis D.1: Třída Lowpass implementující číslicovou dolní propust

```
class LowPass
{
private:
    float c;
    float f;
    int sampleRate;
    float lastIn;
    float apOut;
public:

    LowPass()
    {
        lastIn = 0;
        apOut = 0;
    }

    LowPass(float samplerate, float frequency)
    {
        LowPass();
        sampleRate = samplerate;
        SetFrequency(frequency);
    }

    void SetSampleRate(float rate)
    {
        sampleRate = rate;
    }

    void SetFrequency(float frequency)
    {
        f = frequency;
        c = ( tan( kPI * f / sampleRate ) - 1 ) /
            ( tan( kPI * f / sampleRate ) + 1 );
    }

    float Iterate(float sample)
    {
        apOut = c* sample + lastIn - c* apOut;
        lastIn = sample;
        return (sample + apOut) / 2 ;
    }
};
```

Výpis D.2: Třída HighShelving implementující číslicový high shelving filtr

```

class HighShelving
{
private:
    float c, f, g, H0, lastIn, apOut;
    int sampleRate;
public:
    HighShelving()
    {
        lastIn = 0;
        apOut = 0;
    }
    HighShelving(int samplerate, float frequency,
                float gain)
    {
        HighShelving();
        SetParameters(samplerate, frequency, gain);
    }

    void SetParameters(float rate, float frequency,
                    float gain)
    {
        sampleRate = rate;
        f = frequency;
        g = gain;
        float V0 = pow(10,g/20);
        H0 = V0 - 1;
        if(g > 1)
            c = ( tan( kPI * f / sampleRate ) -1 ) /
                ( tan( kPI * f / sampleRate ) + 1 );
        else
            c = ( V0*tan( kPI * f / sampleRate ) -1 ) /
                ( V0* tan( kPI * f / sampleRate ) + 1 );
    }
    float Iterate(float sample)
    {
        //výstup fázovacího článku
        apOut = c* sample + lastIn - c* apOut;
        lastIn = sample;
        return (sample - apOut) * H0/2 + sample ;
    }
};

```

Výpis D.3: Třída BasicBuffer implementující kruhový buffer

```

class BasicBuffer
{
private:
    int bufferSize; // Maximum delay lenght
    float* reverbBufferL = {0};
    float* reverbBufferR = {0};
    int sampleRate ;
    int reverbBufferPosL;
    int reverbBufferPosR;
public:
    BasicBuffer(int sampleRateX,
               float bufferLengthInSeconds)
    {
        sampleRate = sampleRateX;
        bufferSize = bufferLengthInSeconds*sampleRate;
        reverbBufferPosL = 0;
        reverbBufferPosR = 0;
        free(reverbBufferL);
        free(reverbBufferR);
        reverbBufferL = (float*)
            malloc(bufferSize*sizeof(float));
        reverbBufferR = (float*)
            malloc(bufferSize*sizeof(float));

        for(int i = 0 ; i < bufferSize; i++)
        {
            reverbBufferL[i] = 0;
            reverbBufferR[i] = 0;
        }
    }

    void SetNextValue(float value, int channel)
    {
        if(channel == 0)
        {
            reverbBufferL[reverbBufferPosL] = value;
        }
        if(channel == 1)
        {
            reverbBufferR[reverbBufferPosR] = value;
        }
    }

    float GetValue(int delayInSamples, int channel)
    {
        int id = 0;
    }
}

```

<code> if(channel == 0)</code>	47
<code> id = reverbBufferPosL - delayInSamples;</code>	48
<code> if(channel == 1)</code>	49
<code> id = reverbBufferPosR - delayInSamples;</code>	50
<code> if(id < 0)</code>	51
<code> id+= bufferSize;</code>	52
<code> if(channel == 0)</code>	53
<code> return(reverbBufferL[id]);</code>	54
<code> if(channel == 1)</code>	55
<code> return(reverbBufferR[id]);</code>	56
<code> else</code>	57
<code> return 0;</code>	58
<code> }</code>	59
<code>void Iterate(int channel)</code>	60
<code>{</code>	61
<code> if(channel == 0){</code>	62
<code> reverbBufferPosL ++;</code>	63
<code> if(reverbBufferPosL >= bufferSize)</code>	64
<code> reverbBufferPosL = 0;</code>	65
<code> }</code>	66
<code> if(channel == 1){</code>	67
<code> reverbBufferPosR ++;</code>	68
<code> if(reverbBufferPosR >= bufferSize)</code>	69
<code> reverbBufferPosR = 0;</code>	70
<code> }</code>	71
<code>}</code>	72
<code>};</code>	73
	74

E Plugin_Spatializer.cpp

Výpis E.1: funkce InternalRegisterEffectDefinition pro Plugin_Spatializer.cpp

```
int InternalRegisterEffectDefinition(UnityAudioEffectDefinition& definition) 1
{ 2
    int numparams = P_NUM; 3
    definition.paramdefs = new UnityAudioParameterDefinition[numparams]; 4
    RegisterParameter(definition, "AudioSrcAttn", "", 0.0f, 1.0f, 1.0f, 1.0f, P_AUDIOSRCATTN, " 5
        AudioSource_distance_attenuation");
    RegisterParameter(definition, "FixedVolume", "", 0.0f, 1.0f, 0.0f, 1.0f, 1.0f, P_FIXEDVOLUME, "Fixed 6
        volume_amount");
    RegisterParameter(definition, "CustomFalloff", "", 0.0f, 1.0f, 0.0f, 1.0f, 1.0f, P_CUSTOMFALLOFF, "Custom 7
        volume_falloff_amount(logarithmic)");
    RegisterParameter(definition, "Delay_of_first_reflection", "ms", 0, 1000, 100, 1.0f, 1.0f, P_DELAY1); 8
    RegisterParameter(definition, "Delay_of_second_reflection", "ms", 0, 1000, 100, 1.0f, 1.0f, P_DELAY2); 9
    RegisterParameter(definition, "Delay_of_third_reflection", "ms", 0, 1000, 100, 1.0f, 1.0f, P_DELAY3); 10
    RegisterParameter(definition, "Delay_of_fourth_reflection", "ms", 0, 1000, 100, 1.0f, 1.0f, P_DELAY4); 11
    RegisterParameter(definition, "Delay_of_fifth_reflection", "ms", 0, 1000, 100, 1.0f, 1.0f, P_DELAY5); 12
    RegisterParameter(definition, "Delay_of_sixth_reflection", "ms", 0, 1000, 100, 1.0f, 1.0f, P_DELAY6); 13
    RegisterParameter(definition, "Relative_angle_of_first_reflection", "", -180, 180, 0, 1.0f, 1.0f, P_ANGLE1) 14
    ;
    RegisterParameter(definition, "Relative_angle_of_second_reflection", "", -180, 180, 0, 1.0f, 1.0f, P_ANGLE2 15
    );
    RegisterParameter(definition, "Relative_angle_of_third_reflection", "", -180, 180, 0, 1.0f, 1.0f, P_ANGLE3) 16
    ;
    RegisterParameter(definition, "Relative_angle_of_fourth_reflection", "", -180, 180, 0, 1.0f, 1.0f, P_ANGLE4 17
    );
    RegisterParameter(definition, "Relative_angle_of_fifth_reflection", "", -180, 180, 0, 1.0f, 1.0f, P_ANGLE5) 18
    ;
    RegisterParameter(definition, "Relative_angle_of_sixth_reflection", "", -180, 180, 0, 1.0f, 1.0f, P_ANGLE6) 19
    ;
    RegisterParameter(definition, "Gain_by_distance_of_first_reflection", "", 0, 1, 1, 1.0f, 1.0f, P_GAIN1); 20
    RegisterParameter(definition, "Gain_by_distance_of_second_reflection", "", 0, 1, 1, 1.0f, 1.0f, P_GAIN2); 21
    RegisterParameter(definition, "Gain_by_distance_of_third_reflection", "", 0, 1, 1, 1.0f, 1.0f, P_GAIN3); 22
    RegisterParameter(definition, "Gain_by_distance_of_fourth_reflection", "", 0, 1, 1, 1.0f, 1.0f, P_GAIN4); 23
    RegisterParameter(definition, "Gain_by_distance_of_fifth_reflection", "", 0, 1, 1, 1.0f, 1.0f, P_GAIN5); 24
    RegisterParameter(definition, "Gain_by_distance_of_sixth_reflection", "", 0, 1, 1, 1.0f, 1.0f, P_GAIN6); 25
    RegisterParameter(definition, "Interpolation_speed", "", 0, 1, 0.5f, 1.0f, 1.0f, P_INTERP); 26
    RegisterParameter(definition, "Reflections_time_multiplier", "", 0,10,1,1.0f,1.0f,P_MULT); 27
    RegisterParameter(definition, "LowPass_of_first_reflection", "", 10, 20000, 100, 1.0f, 1.0f, P_LPFREQ1 ); 28
    RegisterParameter(definition, "LowPass_of_second_reflection", "", 10, 20000, 100, 1.0f, 1.0f, P_LPFREQ2 ); 29
    RegisterParameter(definition, "LowPass_of_third_reflection", "", 10, 20000, 100, 1.0f, 1.0f, P_LPFREQ3 ); 30
    RegisterParameter(definition, "LowPass_of_fourth_reflection", "", 10, 20000, 100, 1.0f, 1.0f, P_LPFREQ4 ); 31
    RegisterParameter(definition, "LowPass_of_fifth_reflection", "", 10, 20000, 100, 1.0f, 1.0f, P_LPFREQ5 ); 32
    RegisterParameter(definition, "LowPass_of_sixth_reflection", "", 10, 20000, 100, 1.0f, 1.0f, P_LPFREQ6 ); 33
    RegisterParameter(definition, "Mid_frequency_of_first_reflection", "", 10, 20000, 100, 1.0f, 1.0f, 34
    P_SHELFREQ1 );
    RegisterParameter(definition, "Mid_frequency_of_second_reflection", "", 10, 20000, 100, 1.0f, 1.0f, 35
    P_SHELFREQ2 );
    RegisterParameter(definition, "Mid_frequency_of_third_reflection", "", 10, 20000, 100, 1.0f, 1.0f, 36
    P_SHELFREQ3 );
    RegisterParameter(definition, "Mid_frequency_of_fourth_reflection", "", 10, 20000, 100, 1.0f, 1.0f, 37
    P_SHELFREQ4 );
    RegisterParameter(definition, "Mid_frequency_of_fifth_reflection", "", 10, 20000, 100, 1.0f, 1.0f, 38
    P_SHELFREQ5 );
    RegisterParameter(definition, "Mid_frequency_of_sixth_reflection", "", 10, 20000, 100, 1.0f, 1.0f, 39
    P_SHELFREQ6 );
    RegisterParameter(definition, "Lowshelf_absorption_of_first", "",0.001f,1.0f , 0.3f, 1.0f, 1.0f, P_SHLOW1); 40
    RegisterParameter(definition, "Lowshelf_absorption_of_second", "",0.001f,1.0f , 0.3f, 1.0f, 1.0f, P_SHLOW2) 41
    ;
    RegisterParameter(definition, "Lowshelf_absorption_of_third", "",0.001f,1.0f , 0.3f, 1.0f, 1.0f, P_SHLOW3); 42
    RegisterParameter(definition, "Lowshelf_absorption_of_fourth", "",0.001f,1.0f , 0.3f, 1.0f, 1.0f, P_SHLOW4) 43
    ;
    RegisterParameter(definition, "Lowshelf_absorption_of_fifth", "",0.001f,1.0f , 0.3f, 1.0f, 1.0f, P_SHLOW5); 44
    RegisterParameter(definition, "Lowshelf_absorption_of_sixth", "",0.001f,1.0f , 0.3f, 1.0f, 1.0f, P_SHLOW6); 45
    RegisterParameter(definition, "Highshelf_absorption_of_first", "",0.001f,1.0f , 0.3f, 1.0f, 1.0f, P_SHHIGH1 46
    );
    RegisterParameter(definition, "Highshelf_absorption_of_second", "",0.001f,1.0f , 0.3f, 1.0f, 1.0f, 47
    P_SHHIGH2);
    RegisterParameter(definition, "Highshelf_absorption_of_third", "",0.001f,1.0f , 0.3f, 1.0f, 1.0f, P_SHHIGH3 48
    );
    RegisterParameter(definition, "Highshelf_absorption_of_fourth", "",0.001f,1.0f , 0.3f, 1.0f, 1.0f, 49
    P_SHHIGH4);
    RegisterParameter(definition, "Highshelf_absorption_of_fifth", "",0.001f,1.0f , 0.3f, 1.0f, 1.0f, P_SHHIGH5 50
    );
    RegisterParameter(definition, "Highshelf_absorption_of_sixth", "",0.001f,1.0f , 0.3f, 1.0f, 1.0f, P_SHHIGH6 51
    );
}
```

RegisterParameter(definition, "Q_of_shelf_filters", "", 0.2f, 10.0f, 1.0f, 1.0f, 1.0f, P_SHQ);	52
RegisterParameter(definition, "Feedback_of_allpass_filter", "", 0.0f, 1.0f, 0.5f, 1.0f, 1.0f, P_VAPFB);	53
RegisterParameter(definition, "Delay_of_allpassfilter_1", "ms", 0, 1000, 100, 1.0f, 1.0f, P_VAPDELAY1);	54
RegisterParameter(definition, "LowPass_of_VAP", "", 10, 20000, 100, 1.0f, 1.0f, P_VAPDELAY2);	55
RegisterParameter(definition, "Delay_of_allpassfilter_2", "ms", 0, 1000, 100, 1.0f, 1.0f, P_VAPLPFREQ);	56
RegisterParameter(definition, "frequency_of_lowpass_when_listener_is_not_in_volume", "Hz", 10, 15000, 10000, 1.0f, 1.0f, P_OCLFREQ);	57
RegisterParameter(definition, "Gain_of_reflections", "dB", -60, 12, 1.0f, 1.0f, 1.0f, P_REFLECTIONSGAIN);	58
RegisterParameter(definition, "simulate_reflections_on/off_threshold_0.5f", "", 0.0f, 1.0f, 1.0f, 1.0f, 1.0f, P_SIMULATE);	59
definition.flags = UnityAudioEffectDefinitionFlags_IsSpatializer;	60
return numparams;	61
}	62
	63

Výpis E.2: funkce CreateCallback pro Plugin_Spatializer.cpp

```
UNITY_AUDIODSP_RESULT UNITY_AUDIODSP_CALLBACK CreateCallback(UnityAudioEffectState* state) 1
{                                                                                          2
    EffectData* effectdata = new EffectData;                                             3
    memset(effectdata, 0, sizeof(EffectData));                                           4
    effectdata->EarlyBuffer = new BasicBuffer(state->samplerate,20);                       5
    effectdata->VapBuffer1 = new BasicBuffer(state->samplerate,20);                       6
    effectdata->VapBuffer2 = new BasicBuffer(state->samplerate,20);                       7
    state->effectdata = effectdata;                                                       8

    SetShelfs(effectdata, state);                                                         9

    /*                                                                                     10
    if (IsHostCompatible(state))                                                         11
        state->spatializerdata->distanceattenuationcallback = DistanceAttenuationCallback; 12
    */                                                                                     13
    InitParametersFromDefinitions(InternalRegisterEffectDefinition, effectdata->p);      14
    return UNITY_AUDIODSP_OK;                                                            15
}                                                                                          16
                                                                                          17
                                                                                          18
```


Výpis E.3: algoritmus prvotních odrazů v Plugin_Spatializer.cpp

```

1  UNITY_AUDIODSP_RESULT UNITY_AUDIODSP_CALLBACK ProcessCallback(
2      UnityAudioEffectState* state, float* inbuffer,
3      float* outbuffer, unsigned int length, int inchannels, int
4      outchannels)
5  {
6      // Check that I/O formats are right and that the host API
7      // supports this feature
8      if (inchannels != 2 || outchannels != 2 ||
9          !IsHostCompatible(state) || state->spatializerdata == NULL)
10     {
11         memcpy(outbuffer, inbuffer, length * outchannels * sizeof(
12             float));
13         return UNITY_AUDIODSP_OK;
14     }
15
16     EffectData* data = state->GetEffectData<EffectData>();
17
18     SetShelves(data, state);
19
20     static const float kRad2Deg = 180.0f / kPI;
21
22     float* m = state->spatializerdata->listenermatrix;
23     float* s = state->spatializerdata->sourcematrix;
24
25     float px = s[12];
26     float py = s[13];
27     float pz = s[14];
28
29     float dir_x = m[0] * px + m[4] * py + m[8] * pz + m[12];
30     float dir_y = m[1] * px + m[5] * py + m[9] * pz + m[13];
31     float dir_z = m[2] * px + m[6] * py + m[10] * pz + m[14];
32
33     float azimuth = (fabsf(dir_z) < 0.001f) ? 0.0f : atan2f(dir_x,
34         dir_z);
35     if (azimuth < 0.0f)
36         azimuth += 2.0f * kPI;
37     azimuth = FastClip(azimuth * kRad2Deg, 0.0f, 360.0f);
38
39     float gain = pow(10, data->p[P_REFLECTIONSGAIN]/20);
40
41     for(int i = 0; i < numberOfReflections;i++)
42     {
43         reflectionRelativeAngles[i] = data->p[9+i];
44         reflectionsGains[i] = data->p[15+i];
45         for(int j = 0; j <2;j++) {

```

```

data->EarlyFilters[j][i].SetSampleRate(state-> 42
    samplerate);
data->EarlyFilters[j][i].SetFrequency(data->p[P_LPFREQ1 43
    +i]);

if(i==0) 44
{ 45
    data->VAPFilter[j].SetSampleRate(state->samplerate) 46
    ;
    data->VAPFilter[j].SetFrequency(data->p[P_VAPLPFREQ 47
    ]);
    data->OcclusionFilter[j].SetSampleRate(state-> 48
    samplerate);
    data->OcclusionFilter[j].SetFrequency(data->p[ 49
    P_OCLFREQ]);
} 50
} 51
} 52
} 53
} 54
} 55
} 56
} 57
} 58
} 59
} 60
} 61
} 62
} 63
} 64
} 65
} 66
} 67
} 68
} 69
} 70
} 71
} 72
} 73
} 74
} 75
} 76
} 77
} 78
} 79
}

```

```

        reflection = data->EarlyFilters[i][num].Iterate 80
            (reflection);
        reflection = data->HighShelves[num][i].Process( 81
            reflection);
        reflection = data->LowShelves[num][i].Process( 82
            reflection);
                                                    83
        earlyReflections += reflection;                84
    }                                                  85
    earlyReflections = earlyReflections / (           86
        numberOfReflections );
    data->EarlyBuffer->Iterate(i);                    87
                                                    88
    g1 = data->p[P_VAPFB];                            89
    g2 = data->p[P_VAPFB];                            90
    M1 = vapDelay1;                                  91
    M2 = vapDelay2;                                  92
    data->VapBuffer1->SetNextValue(in, i);            93
    VAP = g2* earlyReflections + g1*g2* data->       94
        VapBuffer1->GetValue(M1,i)
        + g1*data->VapBuffer1->GetValue(M2,i) + data-> 95
            VapBuffer1->GetValue(M1+M2,i)
        - g1*data->VapBuffer2->GetValue(M1,i) - g1*g2* 96
            data->VapBuffer2->GetValue(M2,i)
        - g2*data->VapBuffer2->GetValue(M2+M1,i);    97
    VAP = data->VAPFilter[i].Iterate(VAP);           98
    data->VapBuffer2->SetNextValue(VAP, i);          99
    data->VapBuffer2->Iterate(i);                    100
    data->VapBuffer1->Iterate(i);                    101
}                                                  102
if(gain < 0.1f){                                  103
    in = data->OcclusionFilter[i].Iterate(in);       104
}                                                  105
outbuffer[n*outchannels + i] = in*GetPanGain(azimuth, 106
    i) + ((earlyReflections + VAP)*0.5f)*gain ;
}                                                  107
}                                                  108
return UNITY_AUDIODSP_OK;                          109
}                                                  110

```

F Plugin_Reverb.cpp

Výpis F.1: funkce InternalRegisterEffectDefinition v Plugin_Reverb.cpp

```
1
2 int InternalRegisterEffectDefinition(UnityAudioEffectDefinition&
3   definition)
4   {
5     int numparams = P_NUM;
6     definition.paramdefs = new UnityAudioParameterDefinition[
7       numparams];
8     RegisterParameter(definition, "Delay□Time", "", 0.0f, 15.0f
9       , 2.0f, 1.0f, 1.0f, P_DELAYTIME);
10    RegisterParameter(definition, "Low□pass□frequency", "", 10,
11      20000, 100, 1.0f, 1.0f, P_LPFREQ);
12    RegisterParameter(definition, "Crossover□frequency", "",
13      10, 20000, 100, 1.0f, 1.0f, P_SHELFFREQ);
14    RegisterParameter(definition, "Low□shelf□absorption", ""
15      ,0.001f,1.0f , 0.3f, 1.0f, 1.0f, P_LOWGAIN);
16    RegisterParameter(definition, "High□shelf□absorption", ""
17      ,0.001f,1.0f , 0.3f, 1.0f, 1.0f, P_HIGHGAIN);
18
19    return numparams;
20  }
```

Výpis F.2: funkce CreateCallback v Plugin_Reverb.cpp

```
1 UNITY_AUDIODSP_RESULT UNITY_AUDIODSP_CALLBACK CreateCallback(
2   UnityAudioEffectState* state)
3   {
4     EffectData* effectdata = new EffectData;
5     memset(effectdata, 0, sizeof(EffectData));
6     state->effectdata = effectdata;
7     InitParametersFromDefinitions(
8       InternalRegisterEffectDefinition, effectdata->p);
9     return UNITY_AUDIODSP_OK;
10  }
```

Výpis F.3: algoritmus pro simulaci mnohonásobných odrazů v Plugin_Reverb.cpp

```

1  UNITY_AUDIODSP_RESULT UNITY_AUDIODSP_CALLBACK ProcessCallback(
2      UnityAudioEffectState* state,
3      float* inbuffer, float* outbuffer, unsigned int length,
4      int inchannels, int outchannels)
5  {
6      if (inchannels != 2 || outchannels != 2)
7      {
8          memcpy(outbuffer, inbuffer, length * outchannels *
9              sizeof(float));
10         return UNITY_AUDIODSP_OK;
11     }
12     EffectData* data = state->GetEffectData<EffectData>();
13     float in = 0;
14     const float delaytime = data->p[P_DELAYTIME] * state->
15         samplerate + 1.0f;
16     //const int numtaps = (int)(data->p[P_DIFFUSION] * (MAXTAPS
17         - 2) + 1);
18     const int numtaps = (int)(0.25f * (MAXTAPS - 2) + 1);
19     data->random.Seed(0);
20
21     for (int c = 0; c < 2; c++)
22     {
23         SetEqParameters(data, state);
24
25         InstanceChannel& ch = data->ch[c];
26         const InstanceChannel::Tap* tap_end = ch.taps + numtaps
27             ;
28
29         float decay = powf(0.01f, 1.0f / (float)numtaps);
30         float p = 0.0f, amp = (decay - 1.0f) / (powf(decay,
31             numtaps + 1) - 1.0f);
32         InstanceChannel::Tap* tap = ch.taps;
33         while (tap != tap_end)
34         {
35             p += data->random.GetFloat(0.0f, 100.0f);
36             tap->pos = p;
37             tap->amp = amp;
38             amp *= decay;
39             ++tap;
40         }
41
42         WriteImpulseToConsole(data);
43
44         float scale = delaytime / p;
45         tap = ch.taps;

```

```

    while (tap != tap_end)
    {
        tap->pos *= scale;
        ++tap;
    }

    for (int n = 0; n < length; n++)
    {
        in = inbuffer[n * 2 + c] + reverbmixbuffer[n * 2 +
            c];

        float s = 0.0f;
        const InstanceChannel::Tap* tap = ch.taps;
        while (tap != tap_end)
        {
            s += ch.delay.Read(tap->pos) * tap->amp;
            ++tap;
        }
        s = data->Lowpass[c].Iterate(s);
        s = data->HighShelf[c].Process(s);
        s = data->LowShelf[c].Process(s);

        ch.delay.Write(in + s);

        outbuffer[n * 2 + c] = s;
    }
}

memset(reverbmixbuffer, 0, sizeof(reverbmixbuffer));

return UNITY_AUDIODSP_OK;
}

```